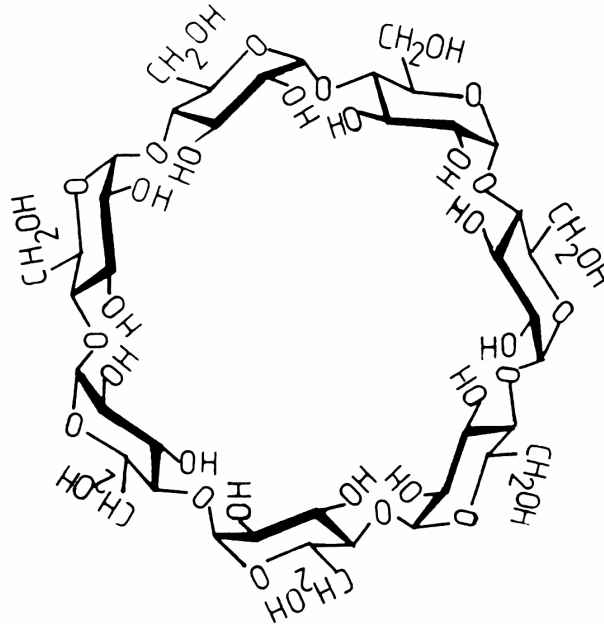
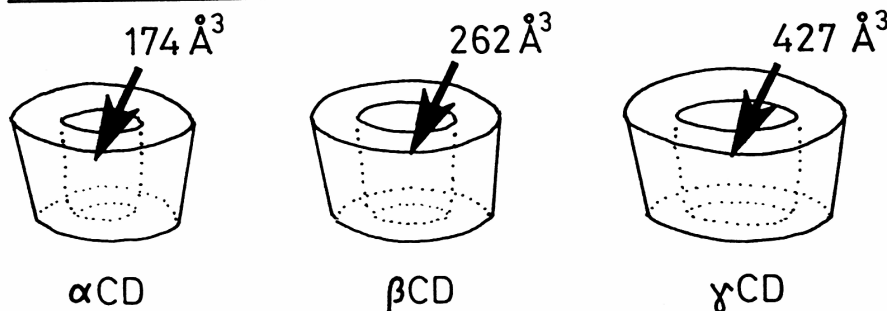


Fig. 1



CAVITY VOLUME:



in one mol:

104 ml

157 ml

256 ml

in one g :

0,10 ml

0,14 ml

0,20 ml

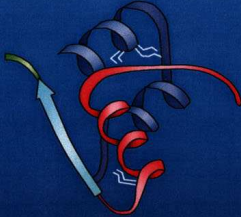
A ciklodextrinek méretük szerint nano-anyagok

Nanotechnology

1 Nanometer = 10^{-9} meter = 10 Angstroms

Red Blood Cells
(7500 nm - 75,000 Å)







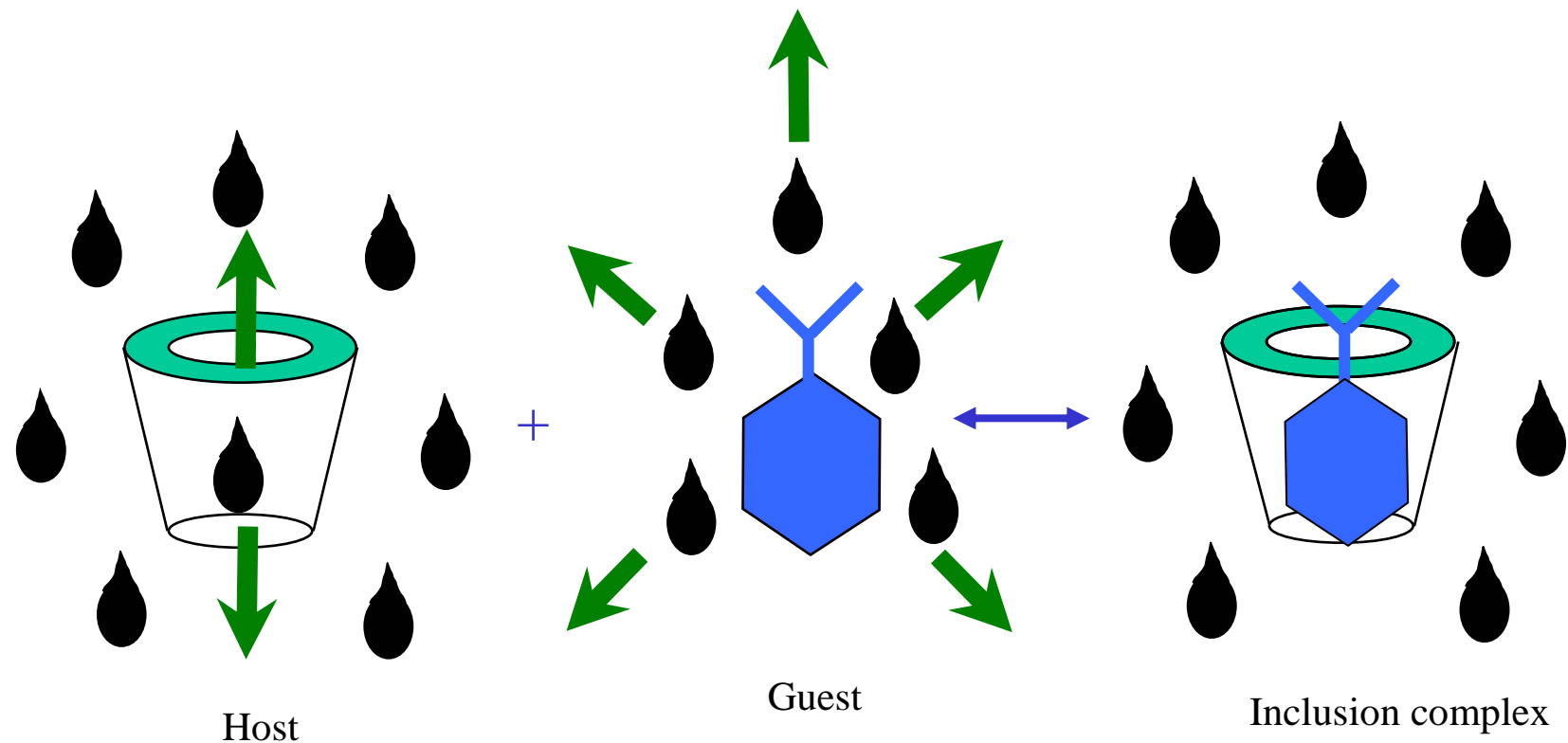
β-Cyclodextrin
(1. 5 nm - 15 Å)

Insulin
(3.5 nm - 35 Å)

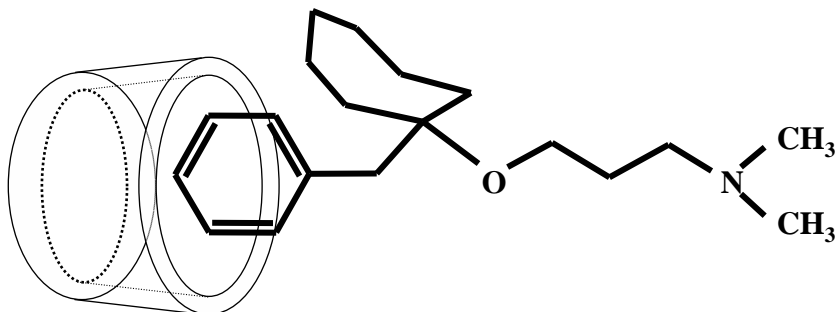
Lipoproteins
(7.5 nm - 75 Å)

Graphics Courtesy of Kaneto Uekama, Kumamoto University, JAPAN

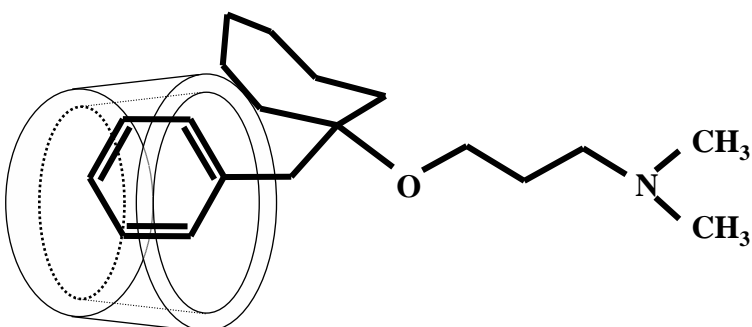
Scheme of inclusion complex formation and dissociation



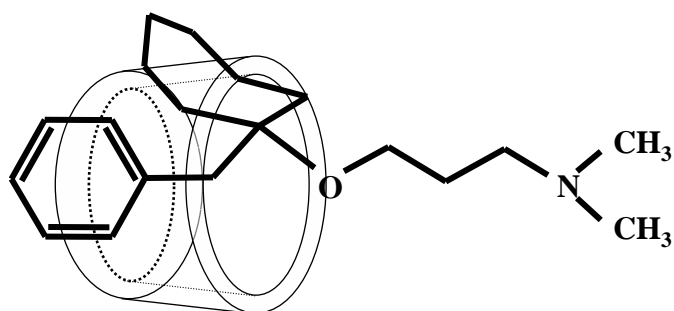
Bencyclan-CD



$$K_{\alpha\text{CD}} \sim 3 \text{ M}^{-1}$$



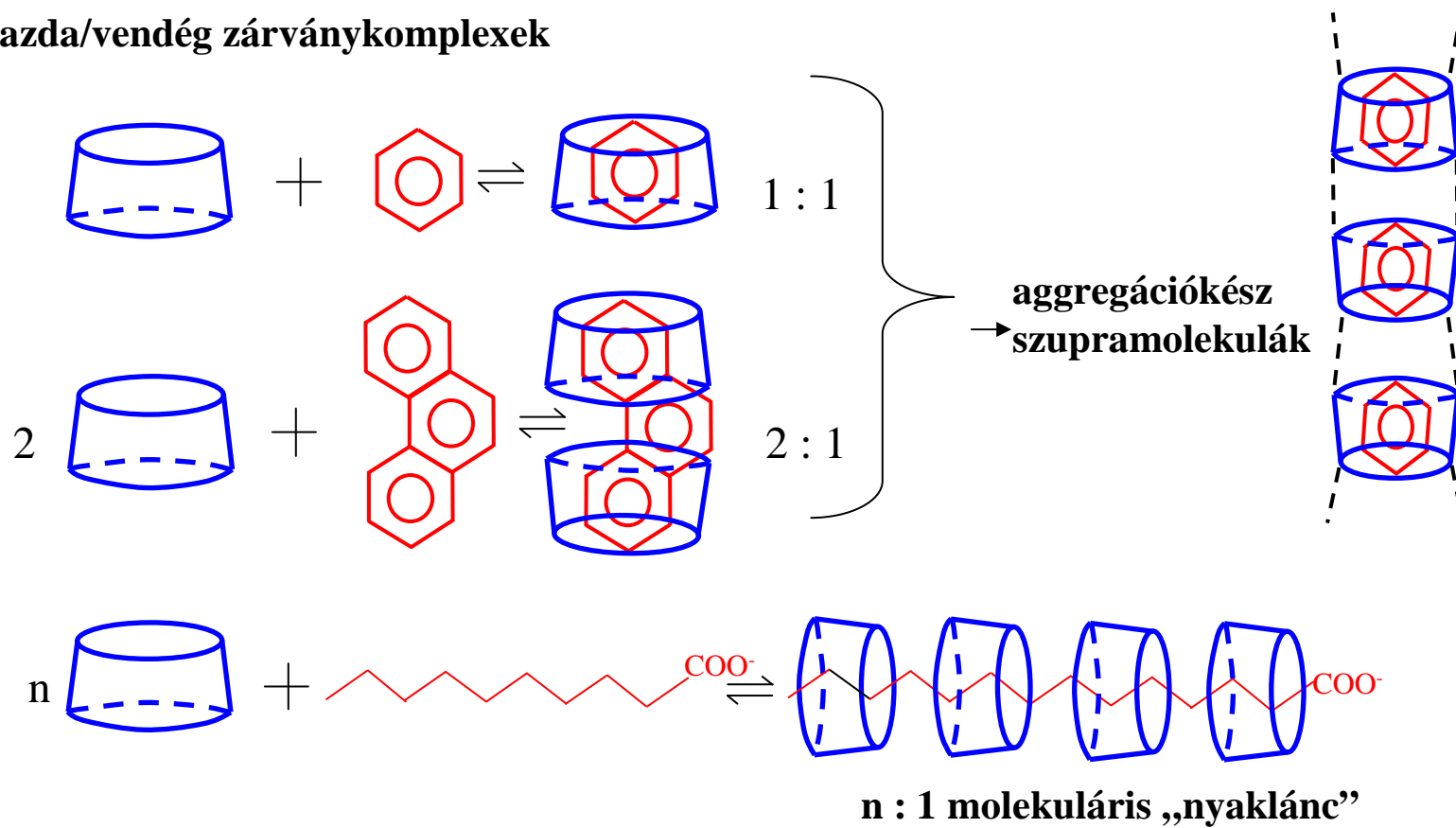
$$K_{\beta\text{CD}} \sim 80000 \text{ M}^{-1}$$



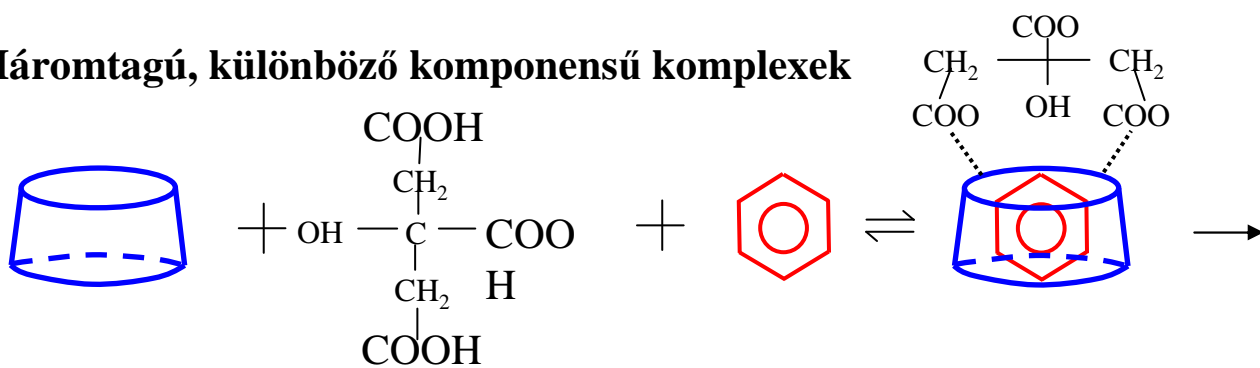
$$K_{\gamma\text{CD}} \sim 4000 \text{ M}^{-1}$$

CIKLODEXTRIN ALAPÚ MOLEKULÁRIS ÉPÍTMÉNYEK

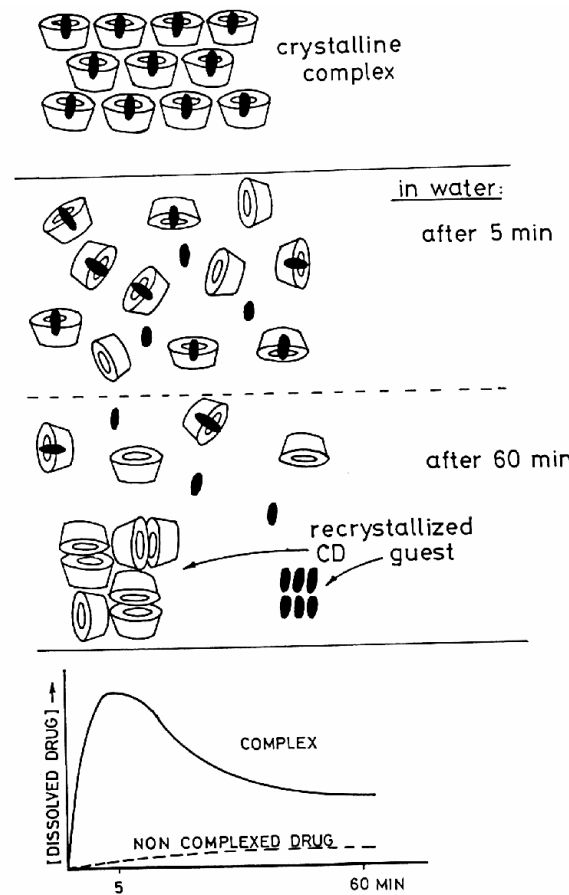
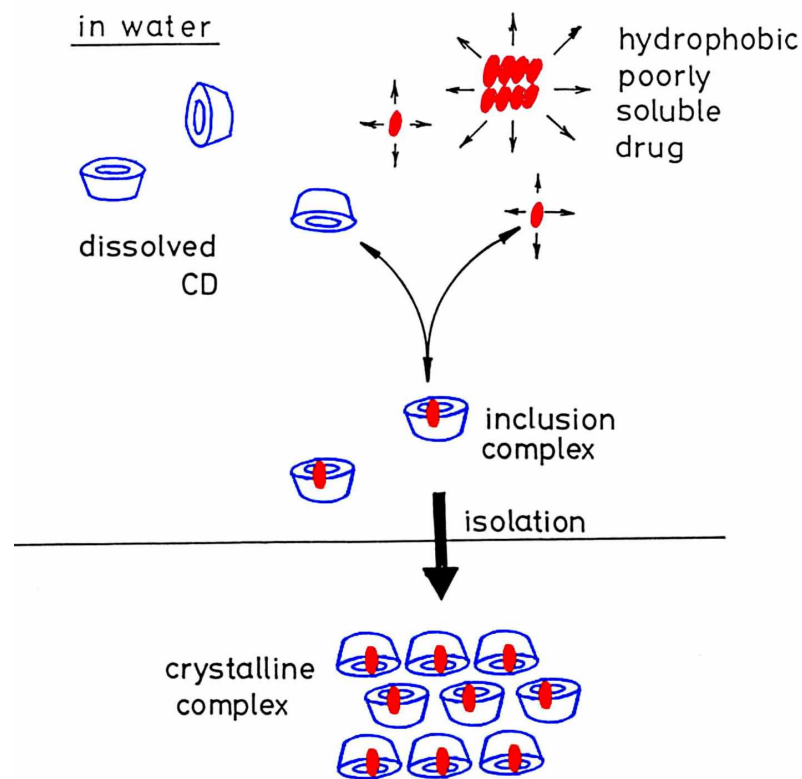
1. Gazda/vendég zárványkomplexek



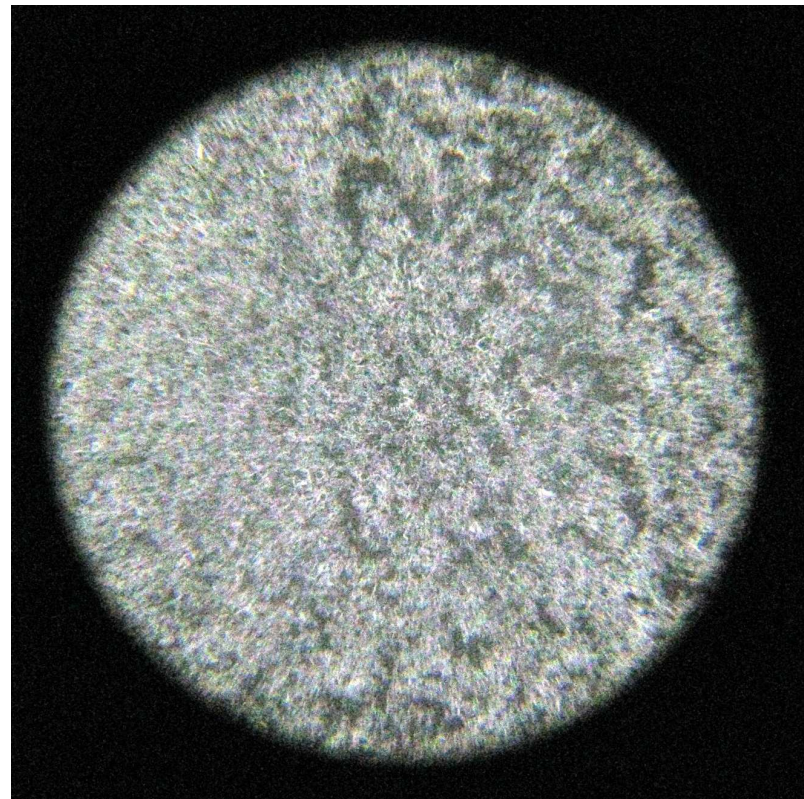
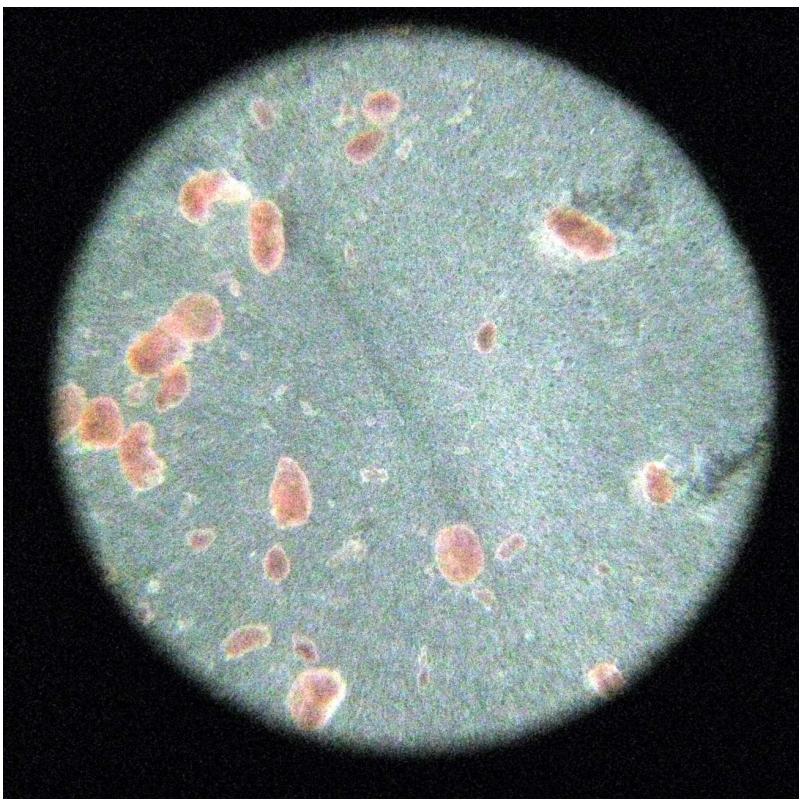
2. Háromtagú, különböző komponensű komplexek



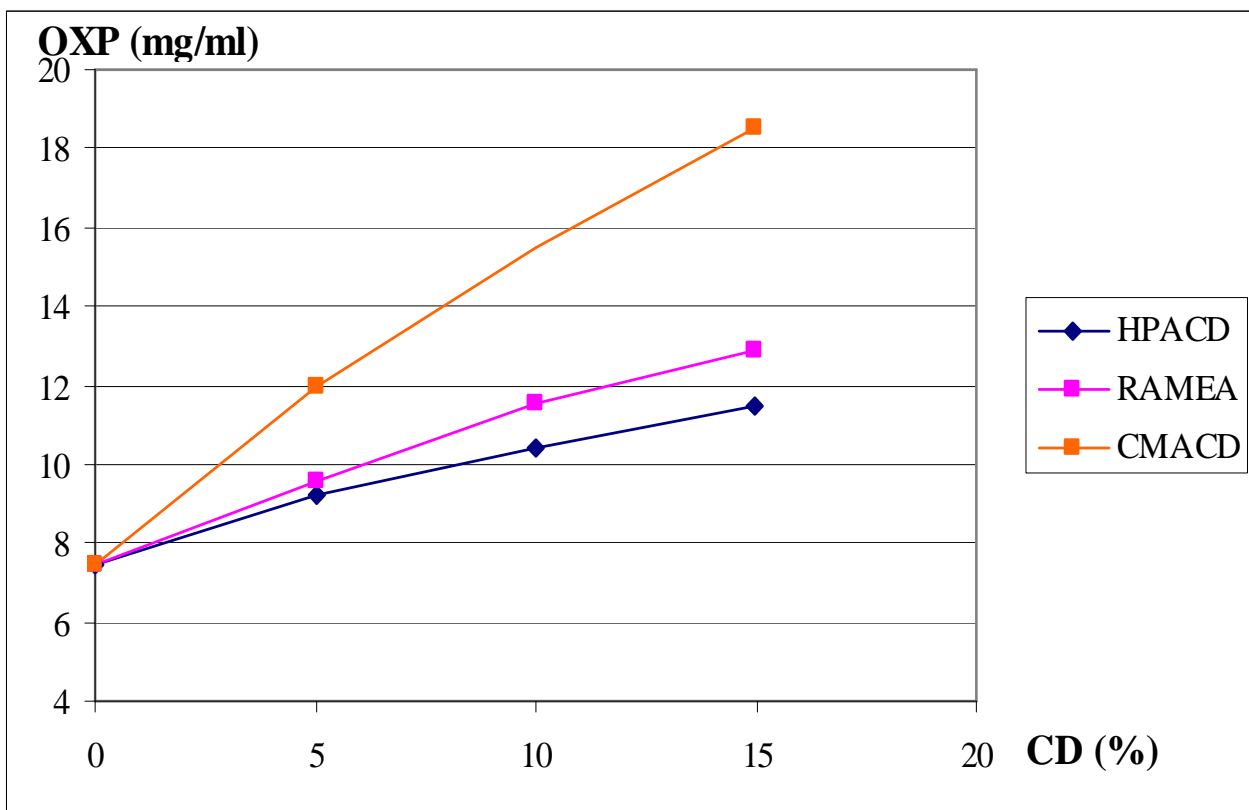
Host – guest interaction (association and dissociation in aqueous solution)



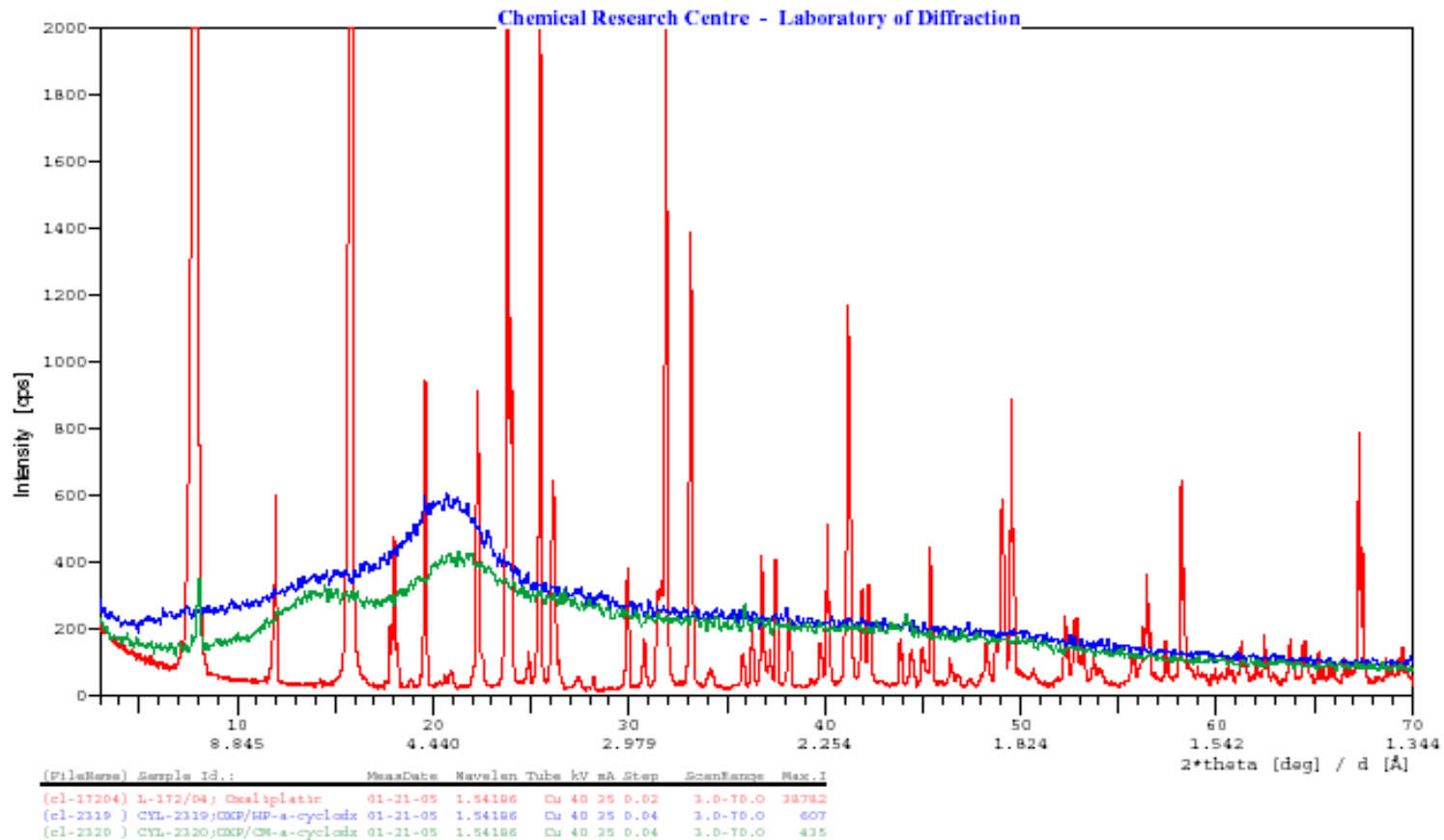
Citromolaj/BCD



Solubility of OXP in presence of CDs



X-ray powder diffraction properties of OXP (**A**), OXP/HPACD (**B**) and OXP/CMACD (**C**)

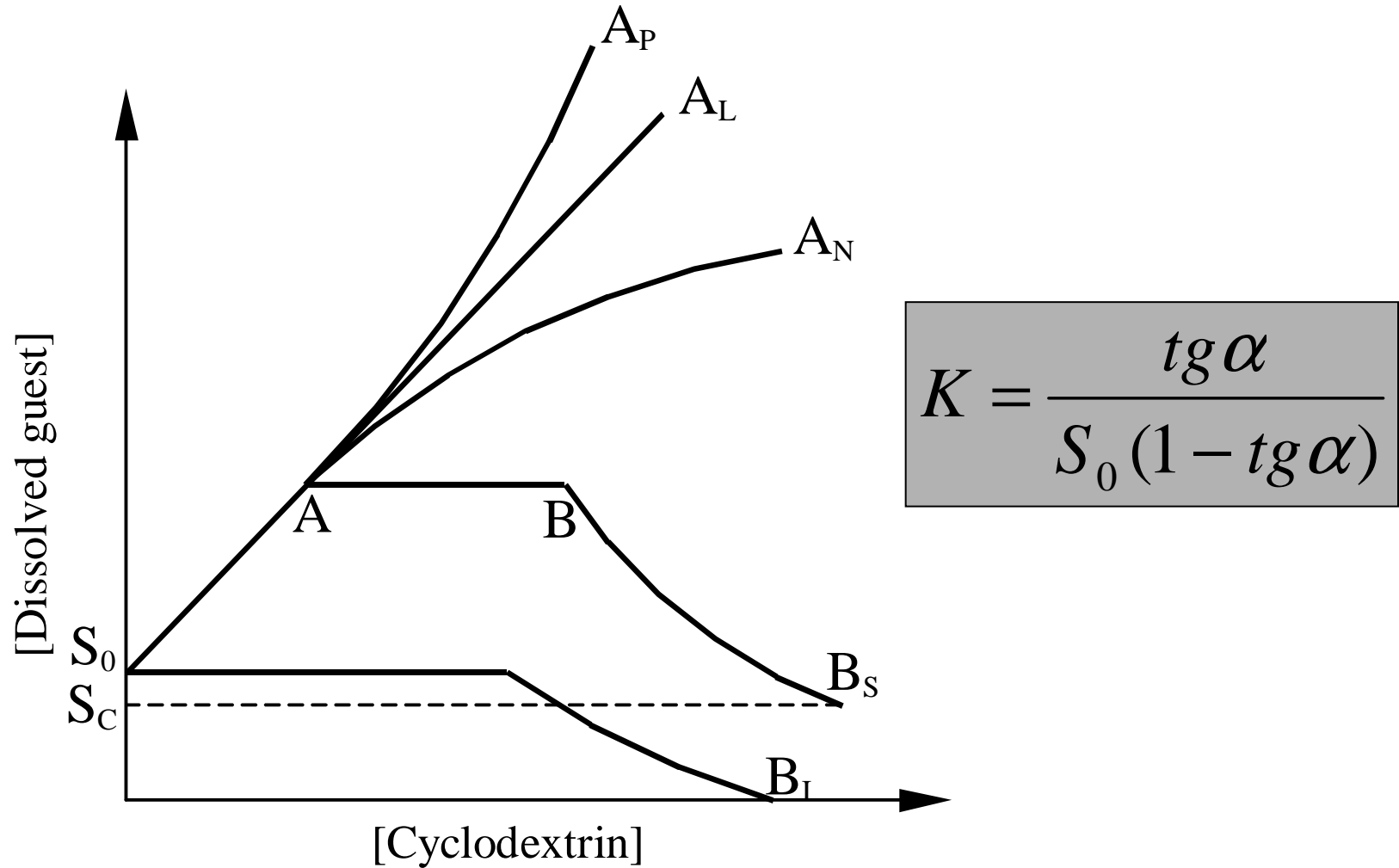


How to measure the solubility isotherms



- Aqueous CD solutions of different concentrations
- Guest in excess
- 24 h stirring
- Centrifuging/filtrating
- Concentration measurement (UV, HPLC)

Types of isotherms

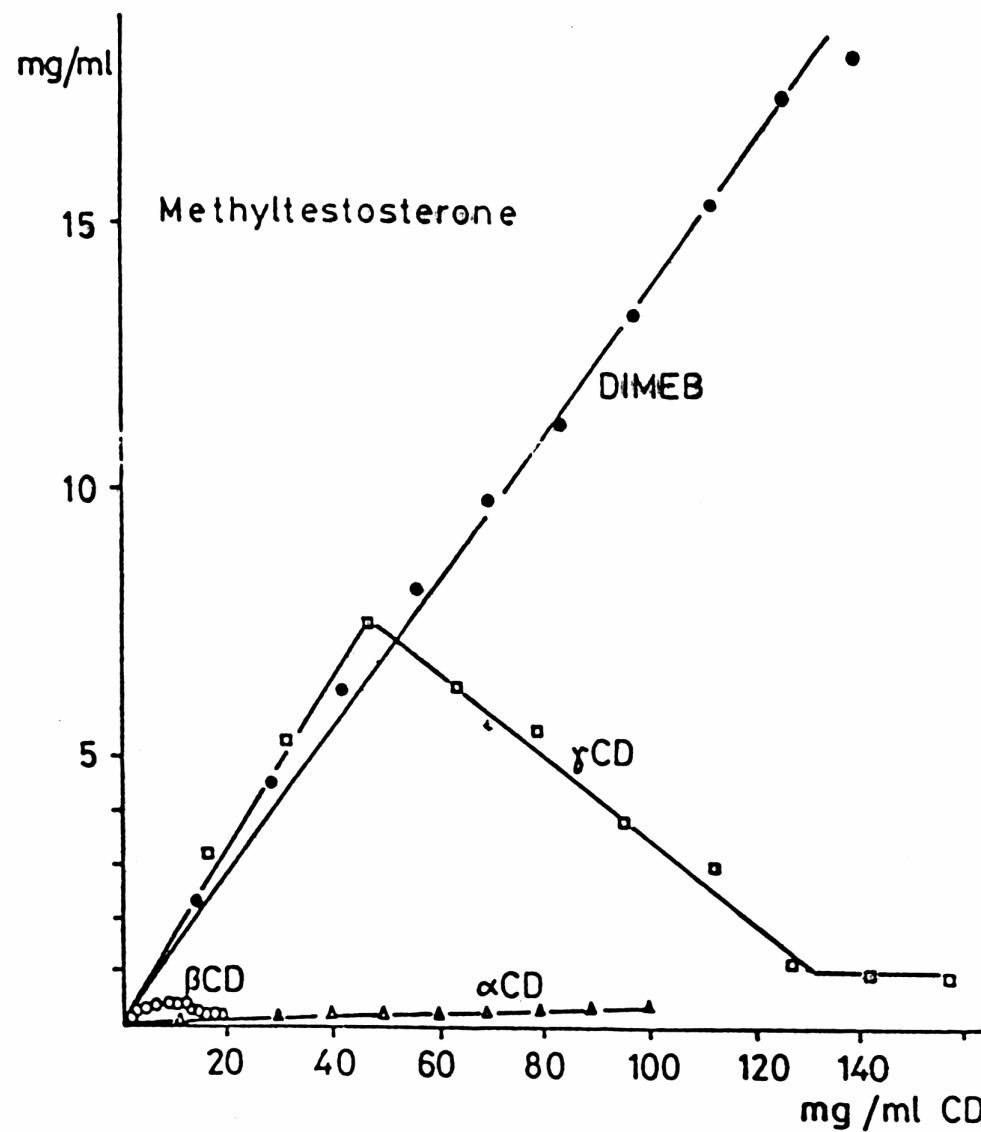


A legmegfelelőbb ciklodextrin kiválasztása

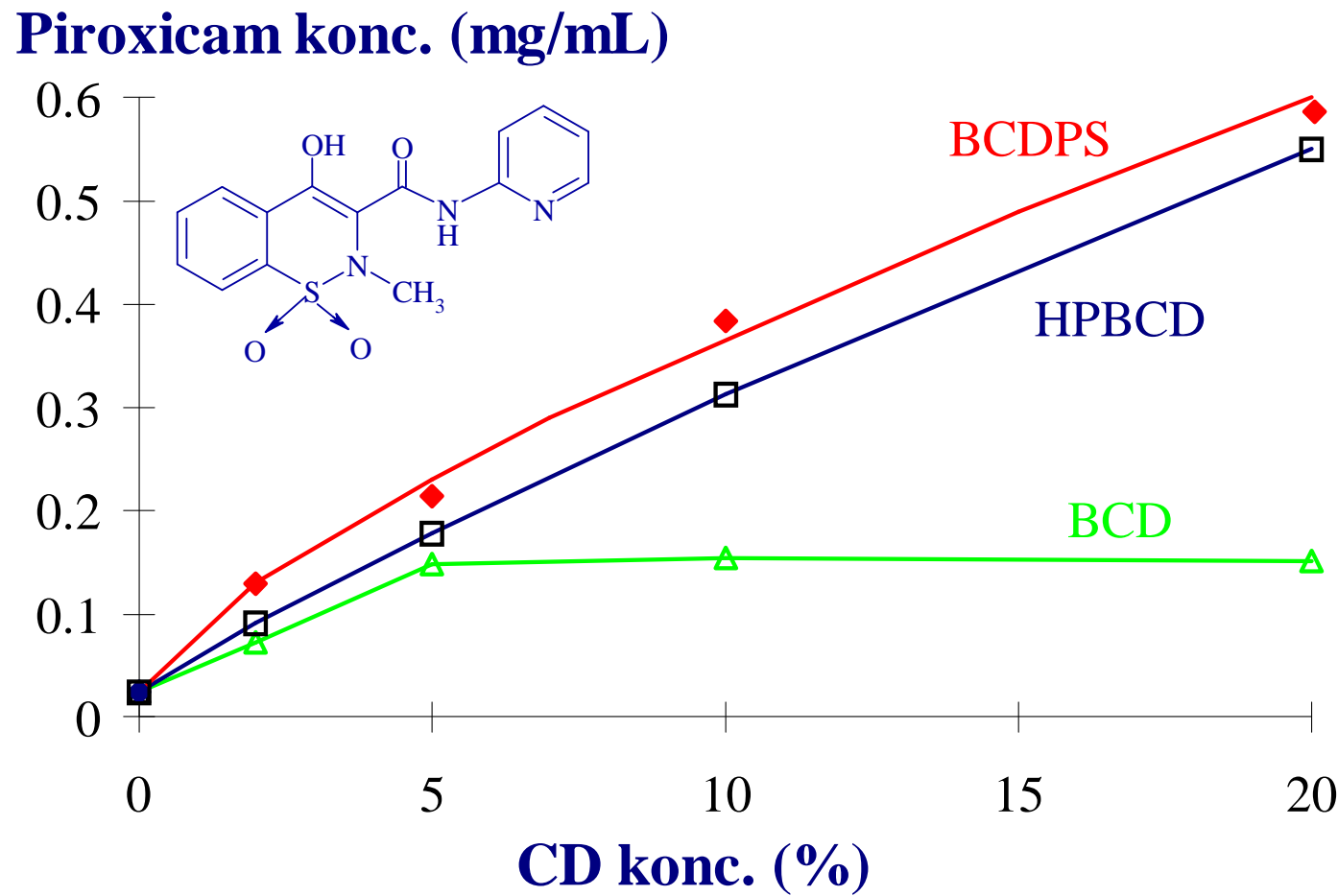
FluoxetineHCl oldékonyisége vizes CD oldatokban 25°C-on

CD (%)	dissolved Fluoxetine HCl (mg/mL)				
	α -CD	γ -CD	HPBCD	RAMEB	G_2 BCD
0	13.62	13.62	13.62	13.62	13.62
0.5	15.27	15.73	14.80	17.40	14.32
1.0	16.13	18.18	16.61	20.60	15.87
3.0	21.10	26.66	22.42	31.65	18.08
5.0	24.60	33.82	26.11	42.00	21.26
7.0	28.62	42.67	31.60	52.21	23.64
10.0	34.98	55.00	38.20	65.10	27.63

31.001



Solubility enhancement using different CDs

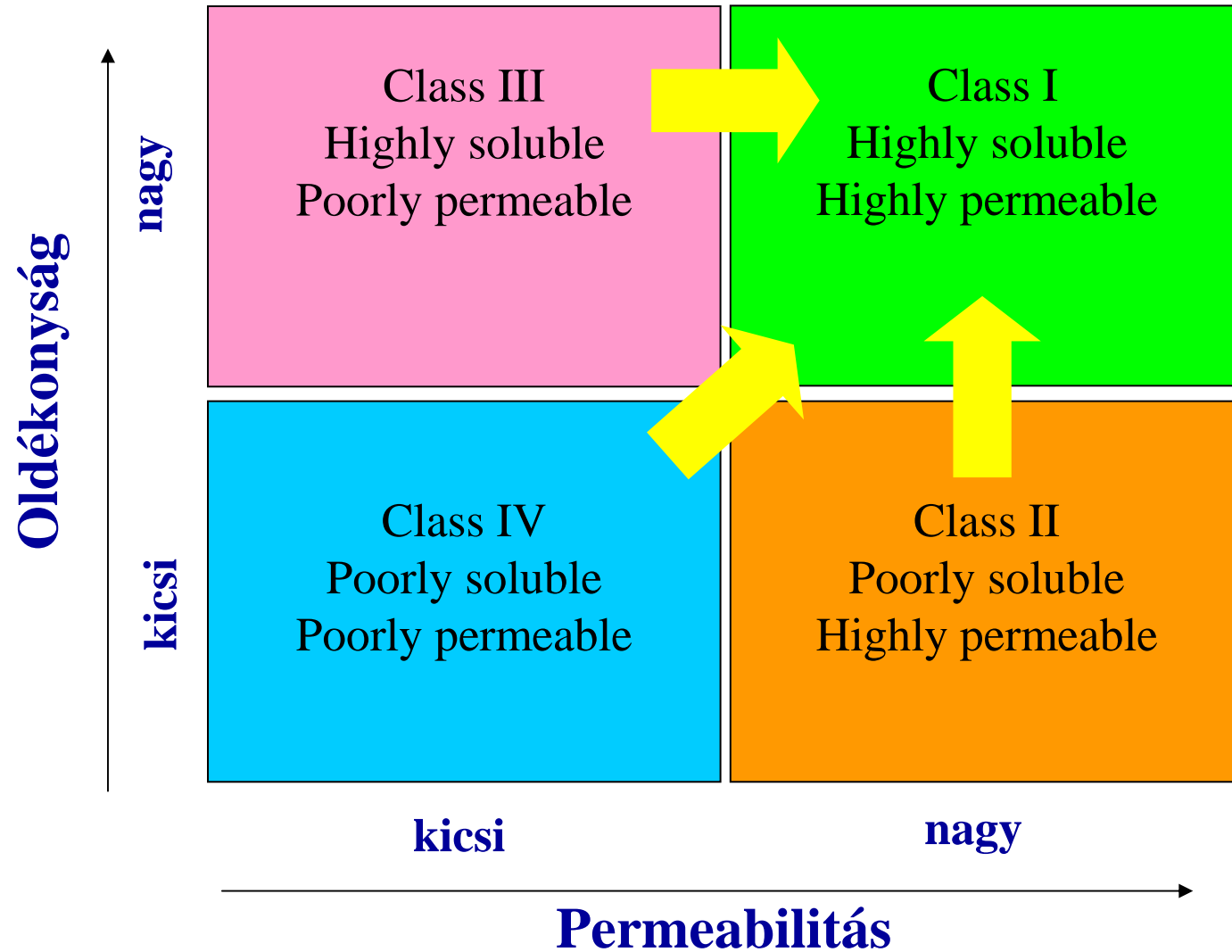


31.41

CDs and CD-derivatives are used to modify the following properties of a drug

- wettability
- dissolution rate
- solubility
- bioavailability
- pharmacokinetics
- stability
- smell/taste
- irritating effect
- content uniformity
- polymorphism

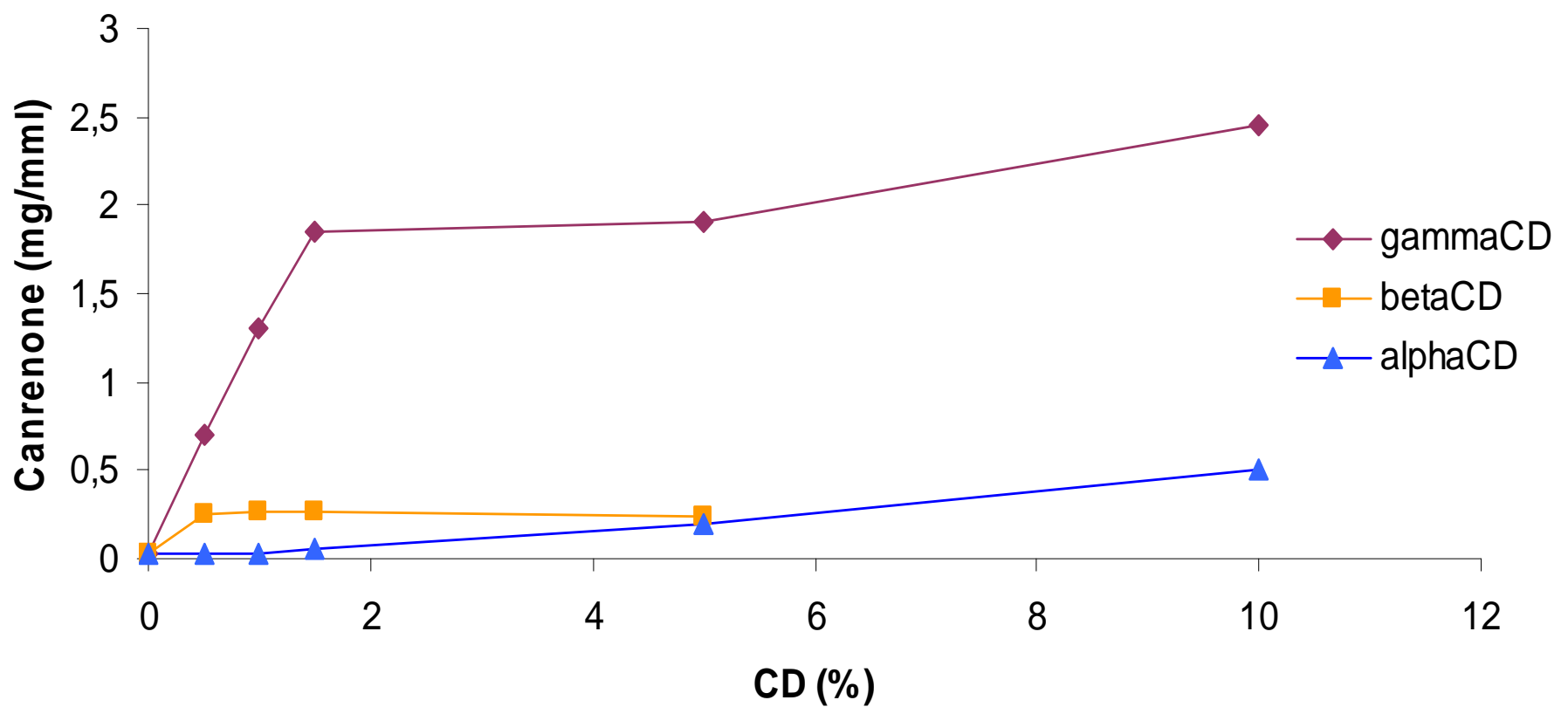
A hatóanyagok átsorolása komplexképzéssel



(Amidon et al 1995, Pharm. Res. 12:413-420;

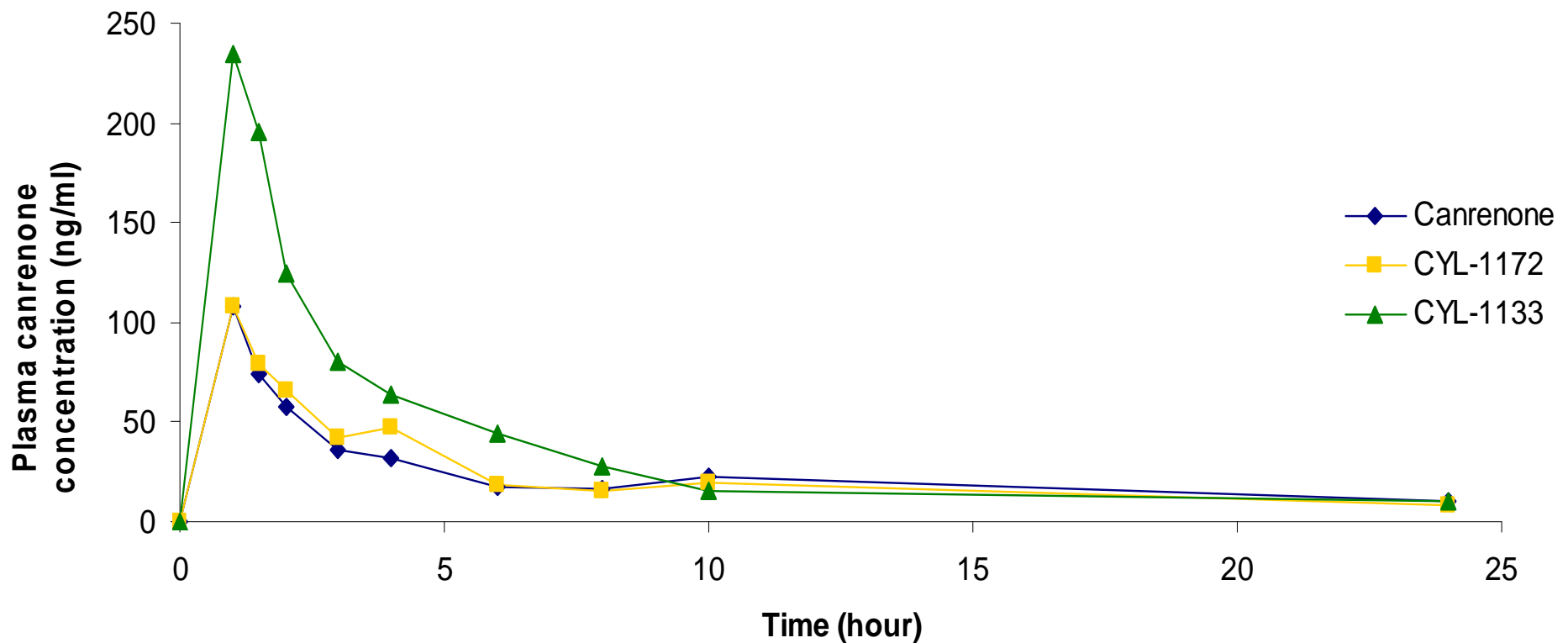
T.Loftsson 2002, J.Incl.Phenom. 44:63-67)

Solubility isotherms of Canrenone

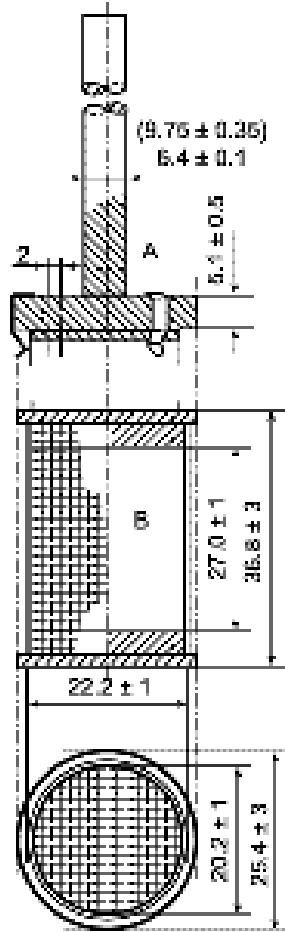


In vitro/in vivo korreláció (reklasszifikálás CD complexálással)

Plasma canrenone levels following oral administration of canrenone and its gammaCD complexes (dose related to canrenone: 3 mg/kg)

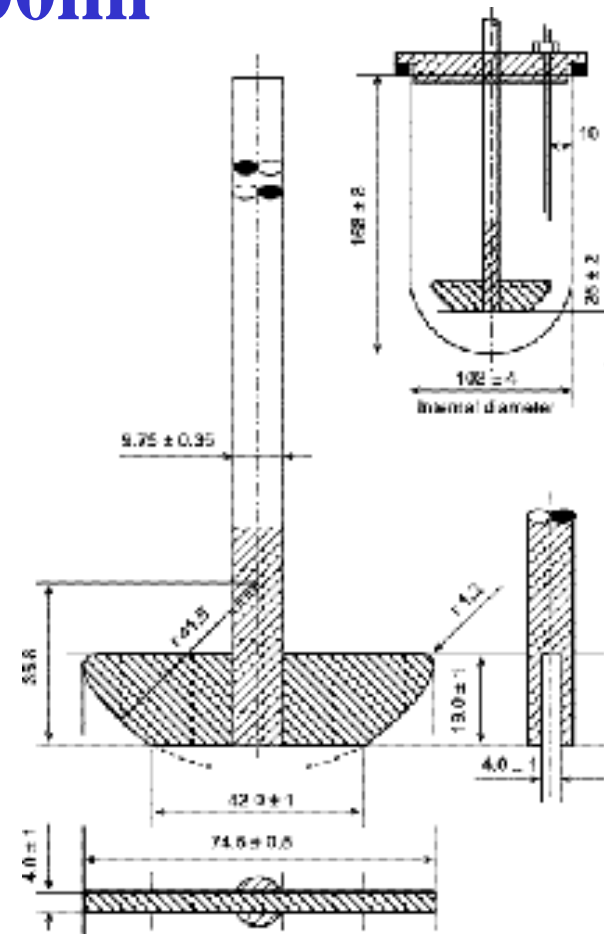


Rotating basket method



Paddle method

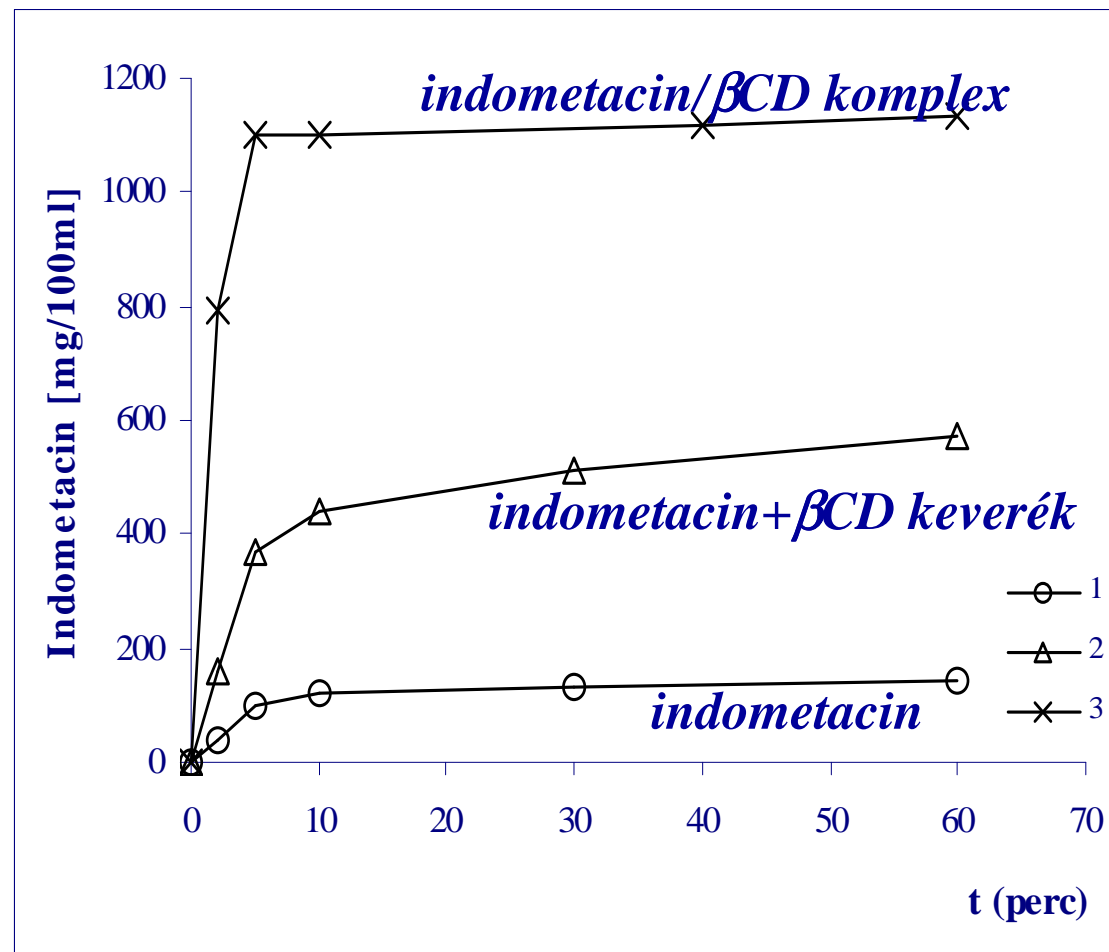
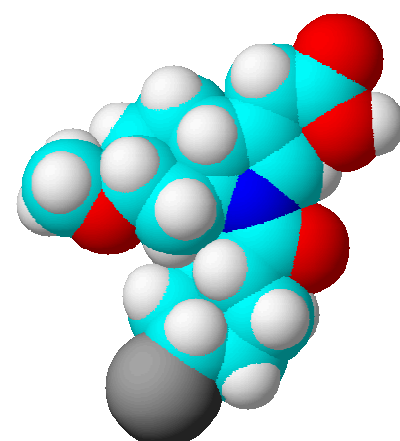
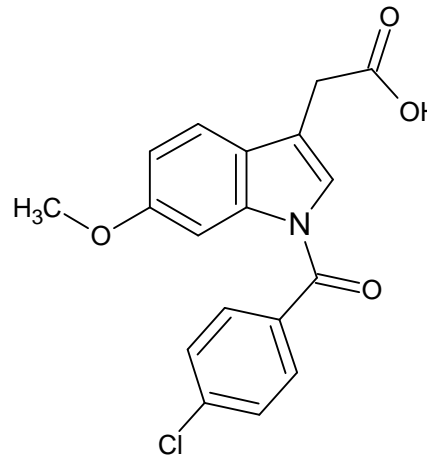
V=900ml



Orális gyógyszerformulációk

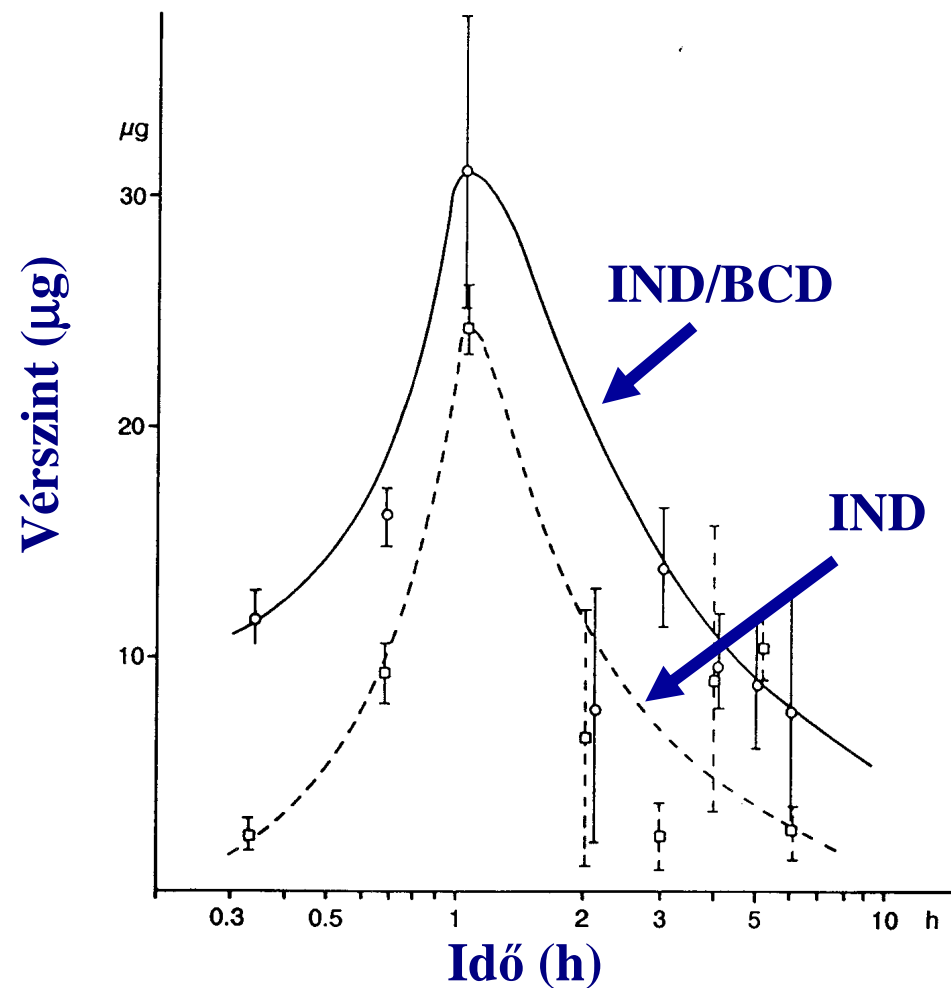
Az indometacin *in vitro* oldódássebessége pH 7 pufferben

„Corpora non agunt nisi soluta” (Paracelsus)

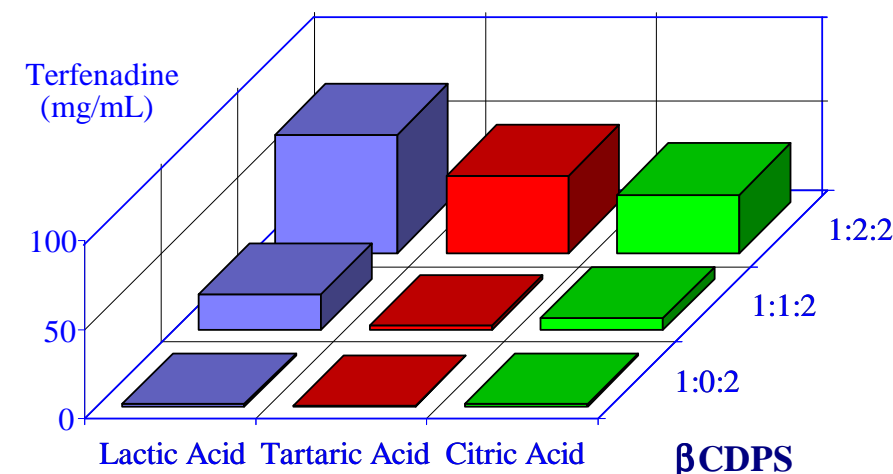
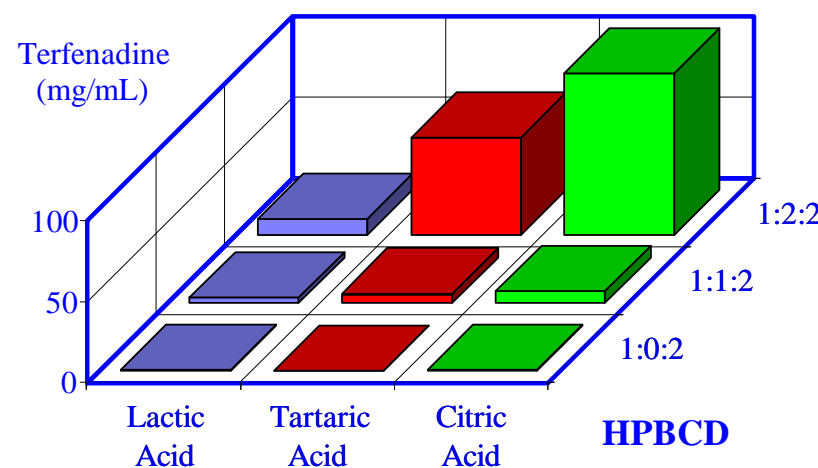
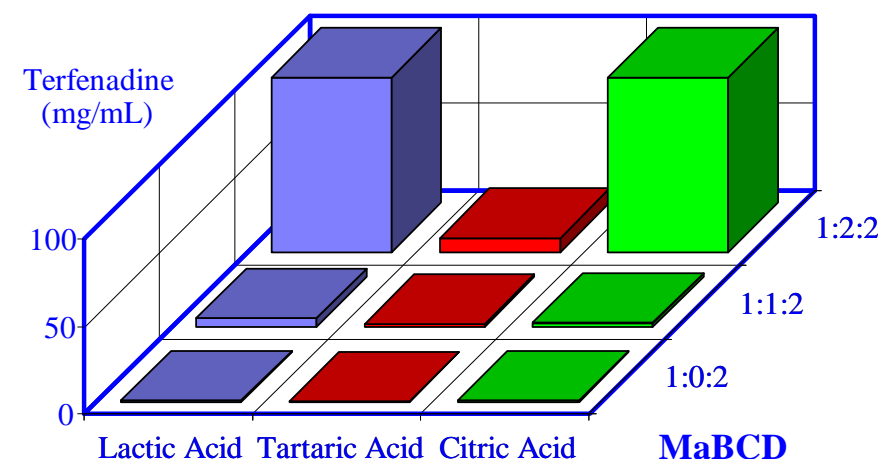
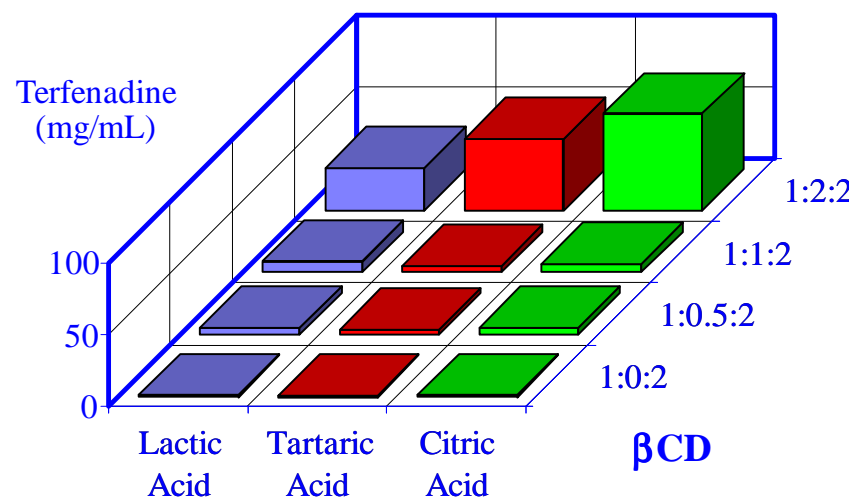


In vitro - in vivo korreláció

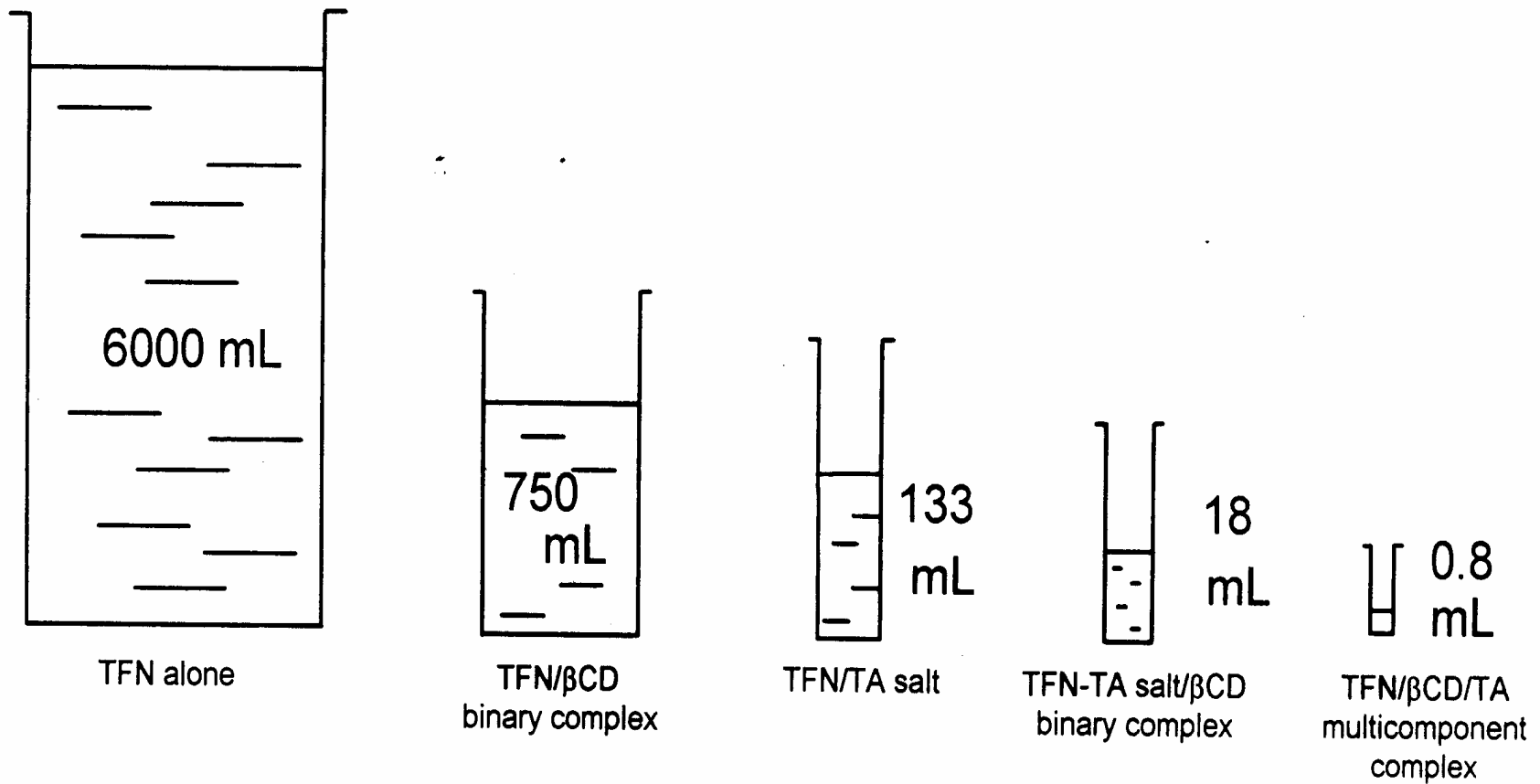
A szabad (IND) és a β -ciklodextrinrel komplexált indometacin (IND/BCD) vérszint görbüje orális adagolás után patkányokon



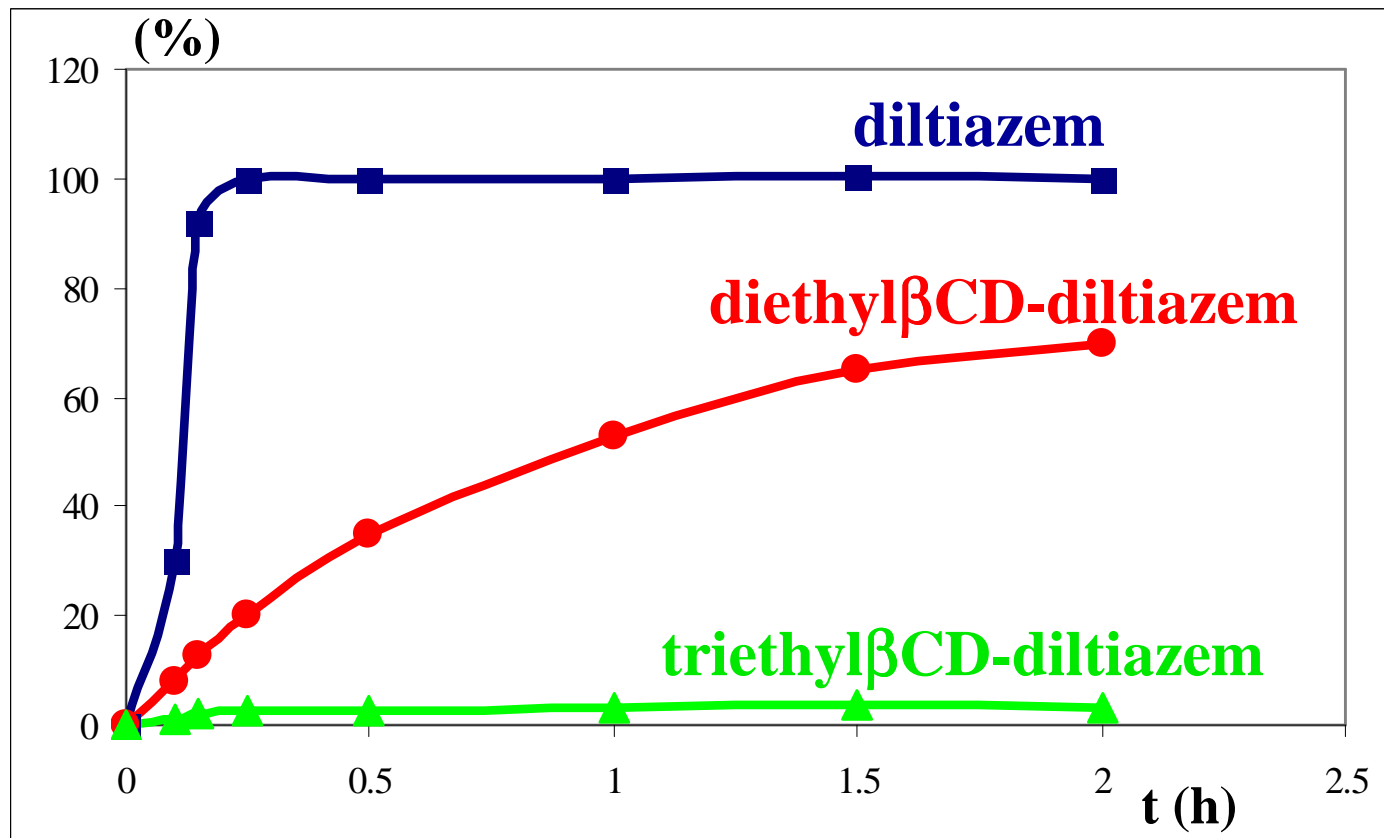
Solubility of Terfenadine in aqueous CD-solutions in the presence of hydroxyacids



Volume of water for dissolution of 60 mg oral dose of Terfenadine in different forms

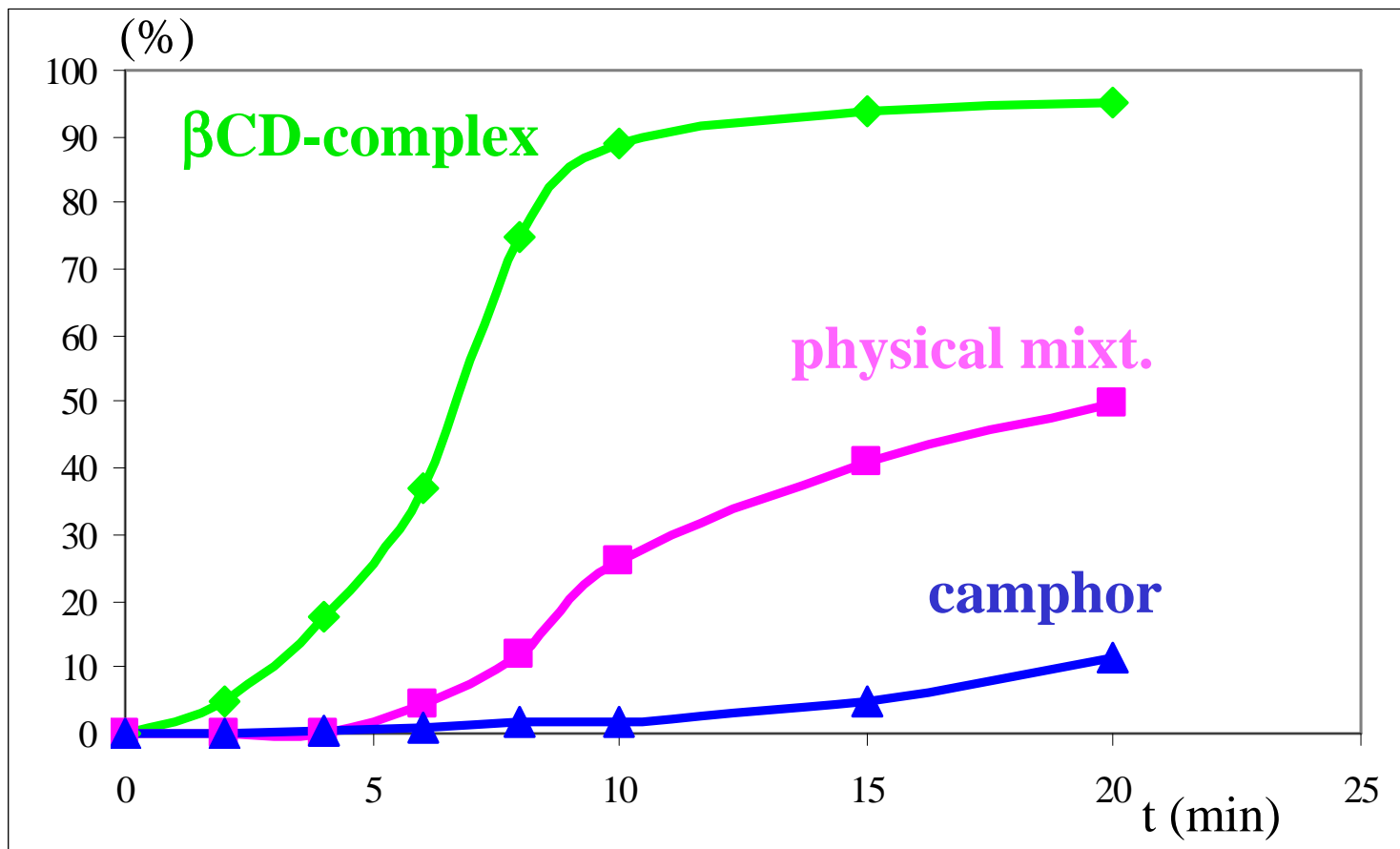


Release profile of diltiazem from tablets

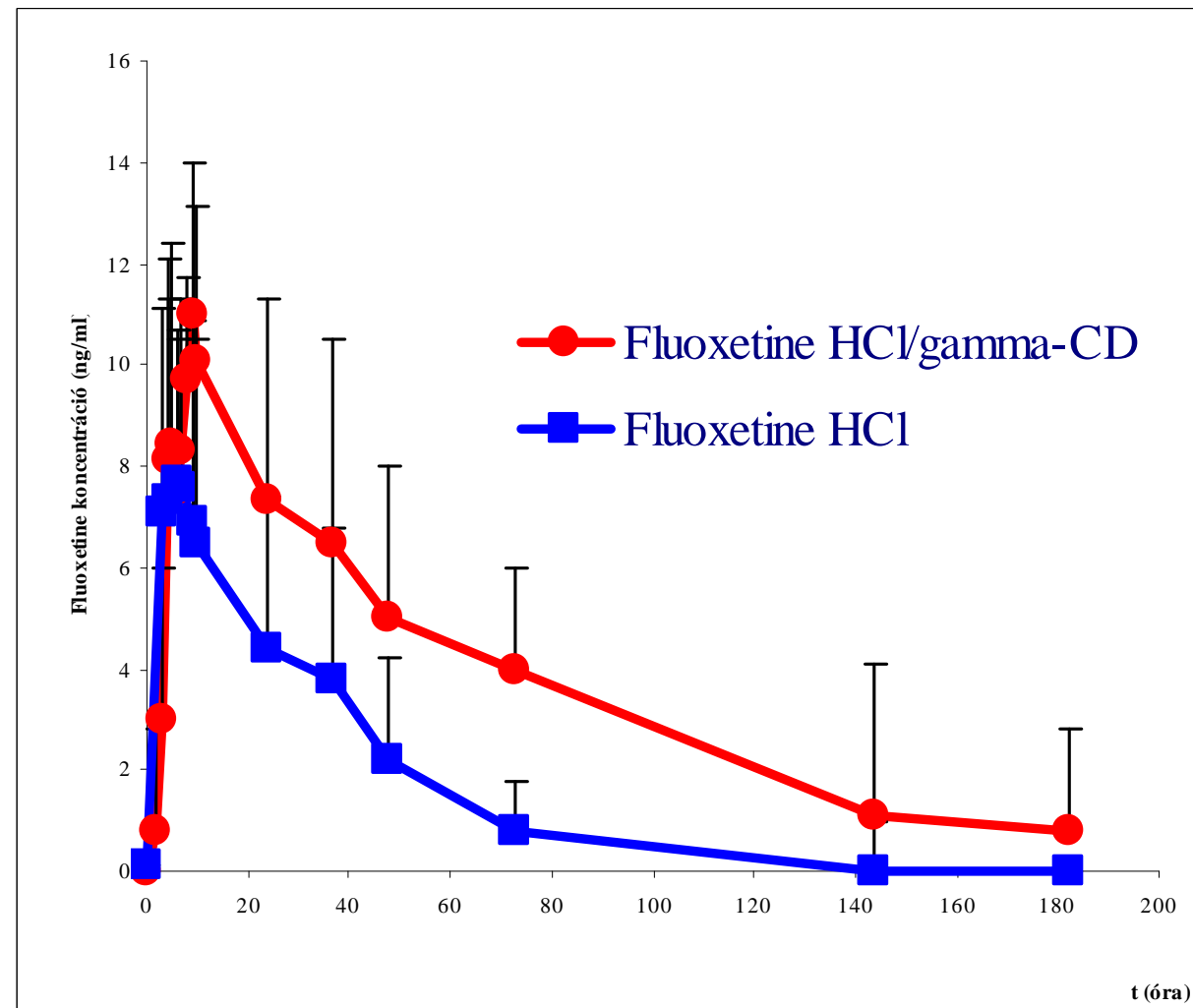
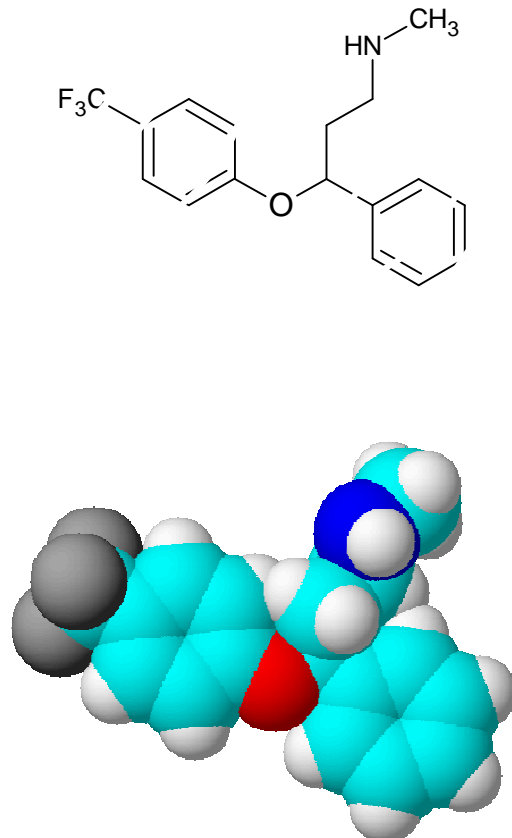


Uekama, 1987

Wettability of free and β CD-complexed camphor



A Fluoxetin humán vérszint azonos dózisú, szabad hatóanyagot (Prozac®) és a Fluoxetin/ γ -CD komplexet tartalmazó formulációk orális adása után

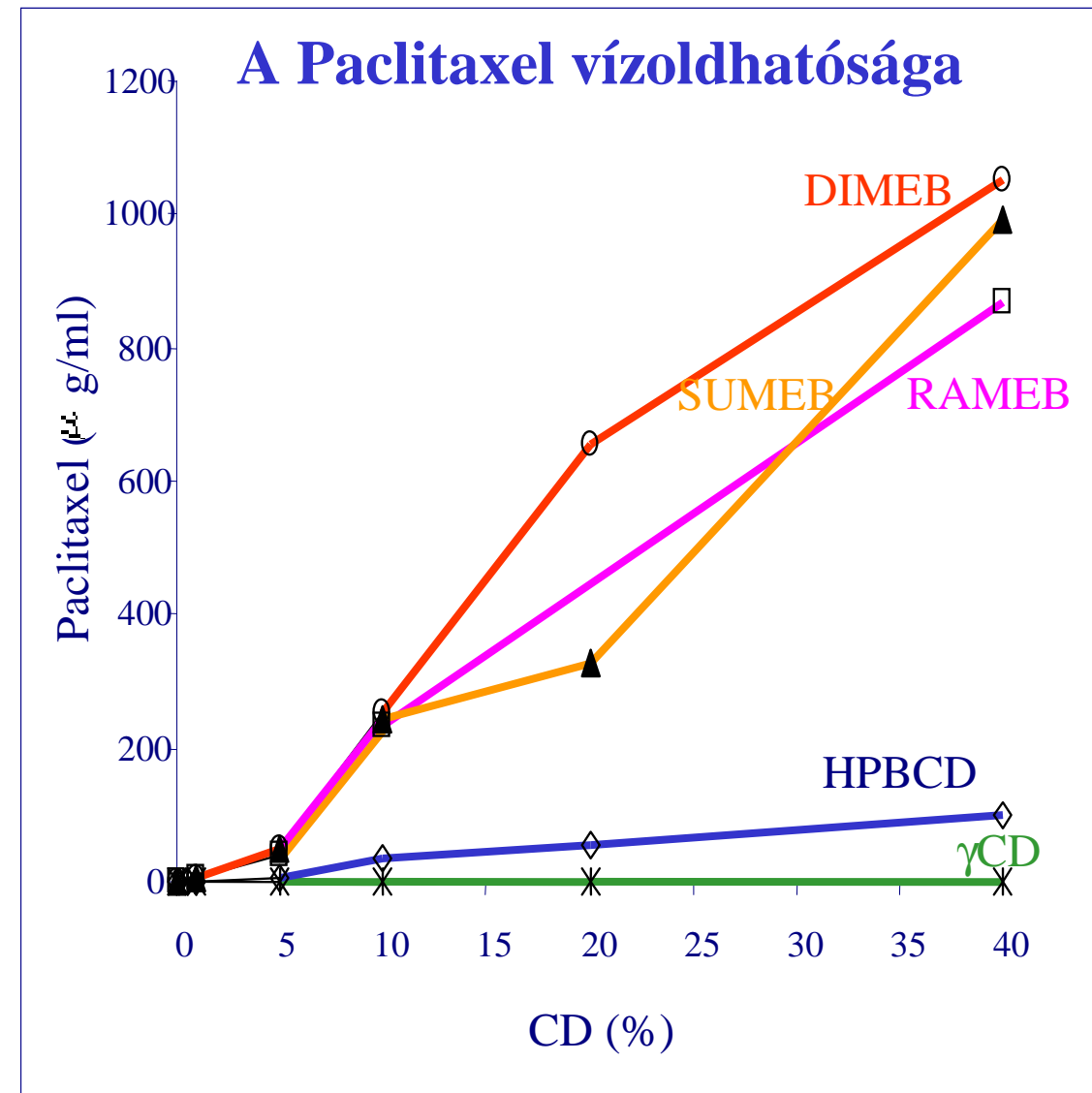
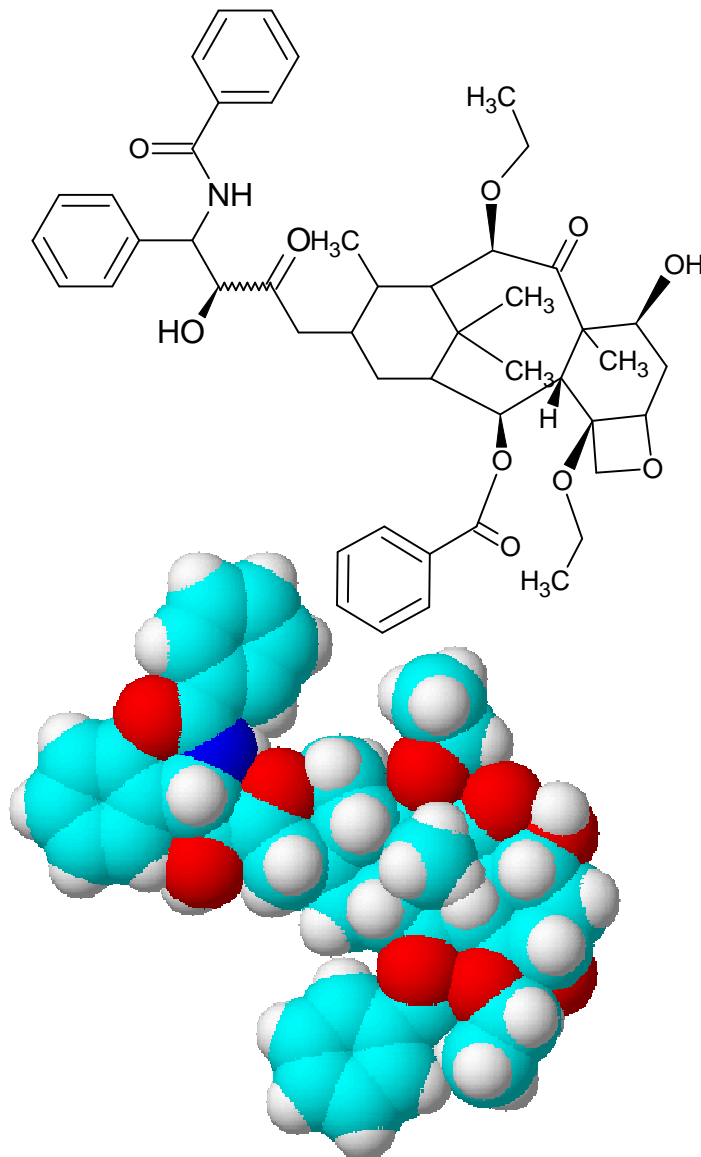


Humán farmakokinetikai eredmények

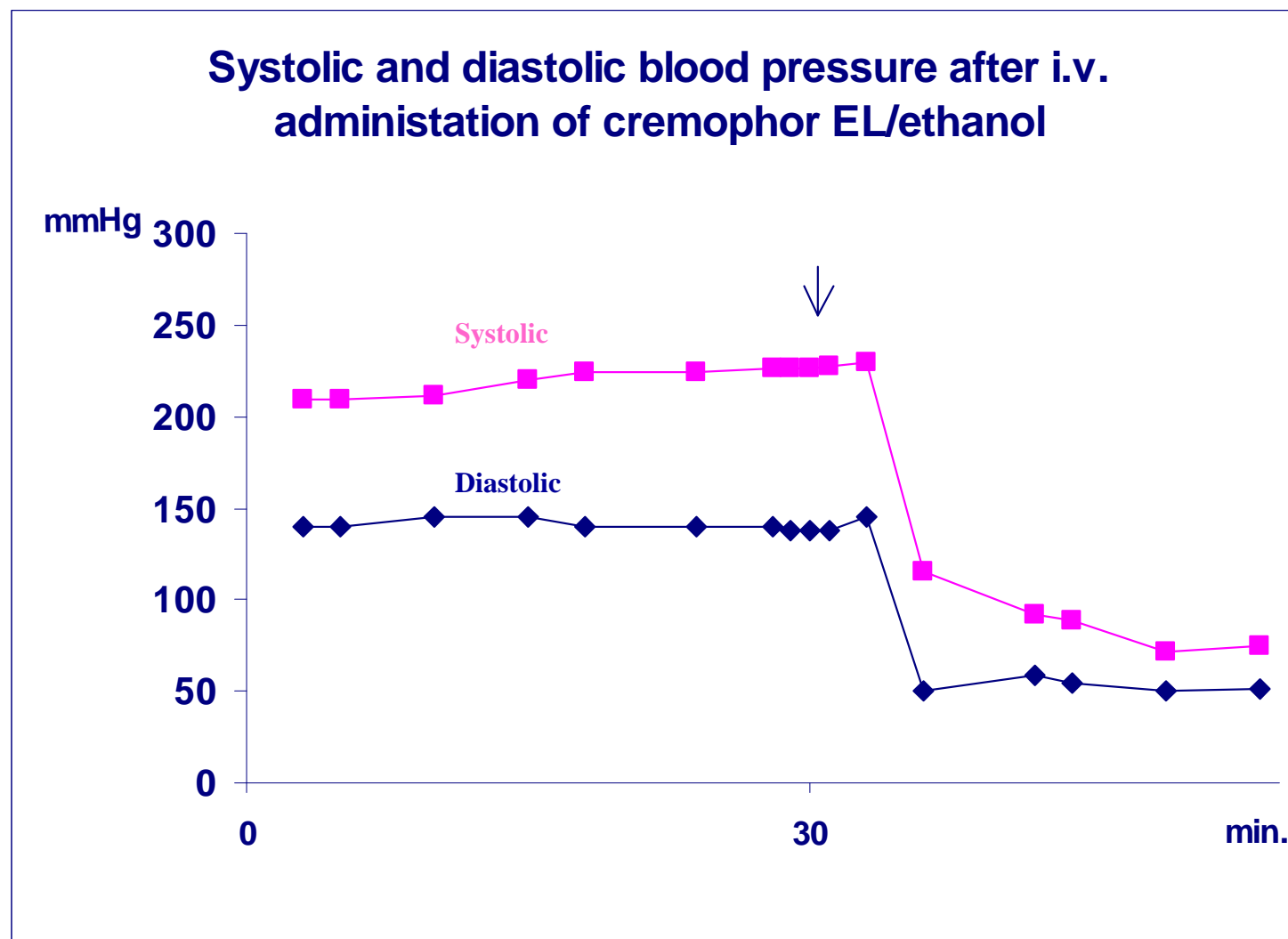
parameters	Prozac®	FluoxetineHCl/ γ CD complex
Fluoxetine		
C_{max}	8.9 ng/mL	12.6 ng/mL
t_{max}	4.9 hours	6.5 hours
AUC_{0-48h}	218 ngh/mL	343 ngh/mL
AUC_{total}	302 ngh/mL	754 ngh/mL
Mean Res. Time (h)	22.6 ± 3.3	48.2 ± 23.2
$t_{1/2\beta} (h)$	25.6 ± 7.1	44.8 ± 16.9

Komplexálás hatására nő a hatóanyag felszívódása orális adagolás esetén

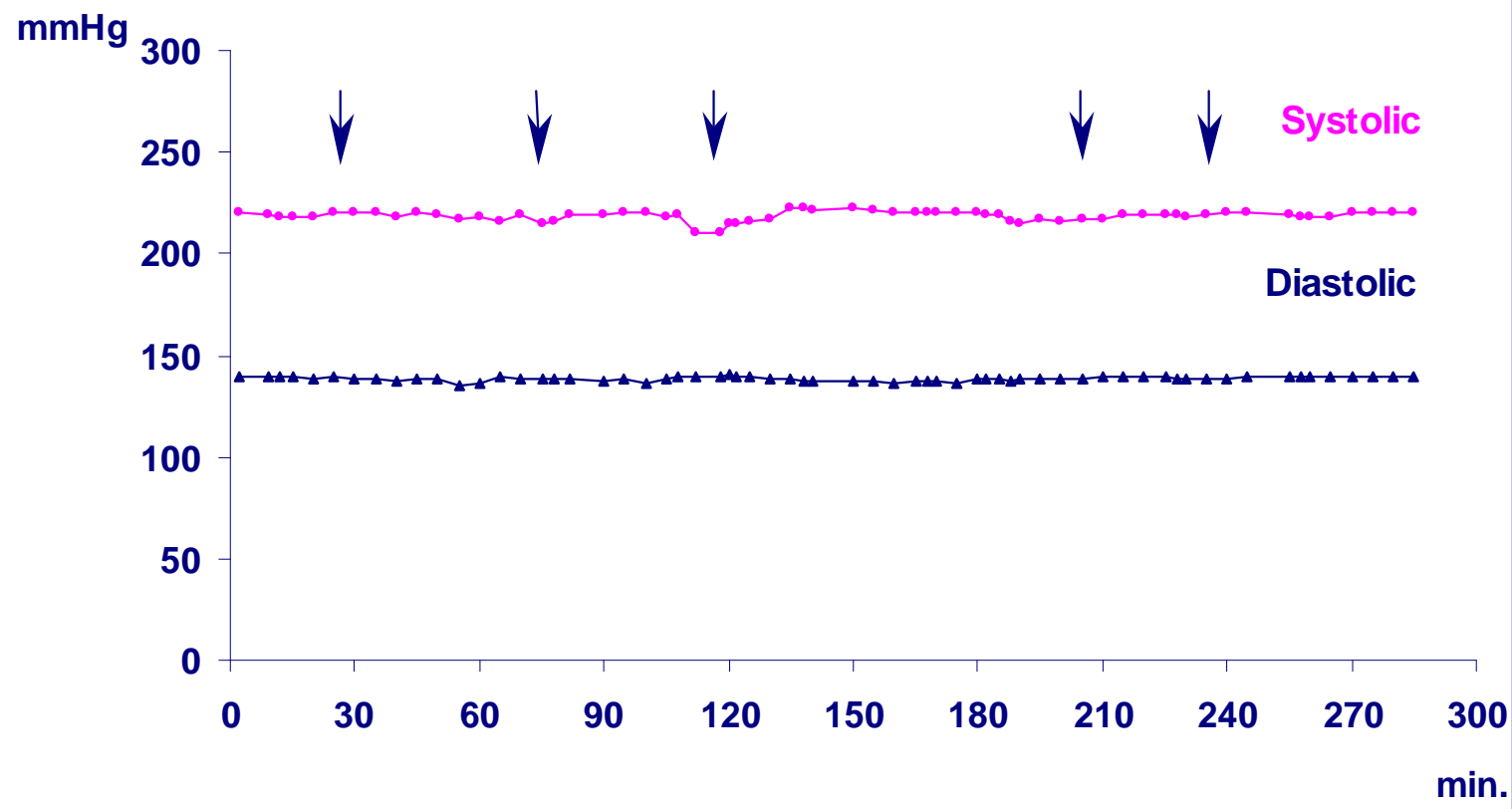
Folyadék gyógyszerformák injekciós célra: Taxánok



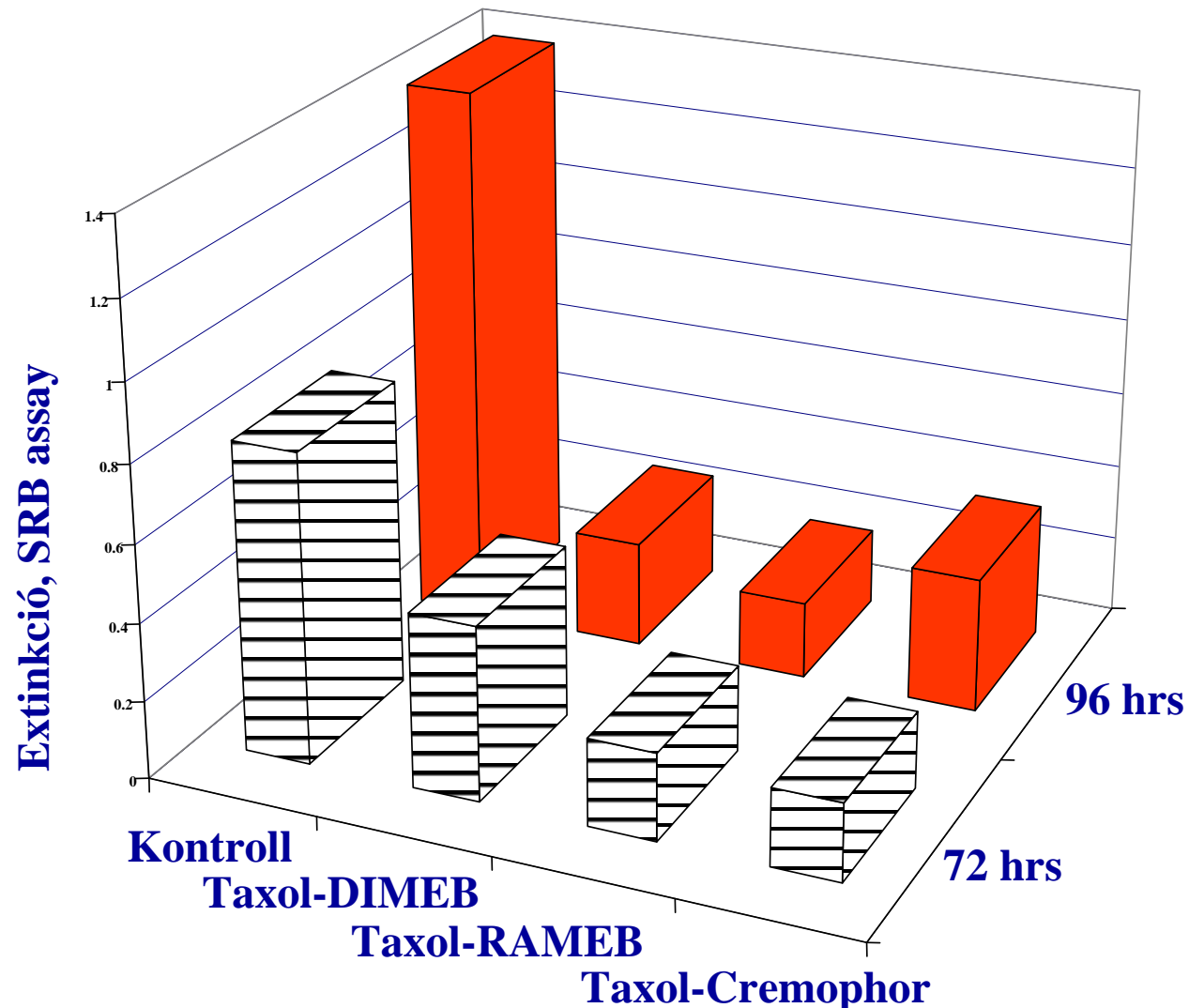
Paclitaxel formuláció kardiotoxicitása iv. kutyán



Systolic and diastolic blood pressure after i.v. administration of Paclitaxel/AcyCD



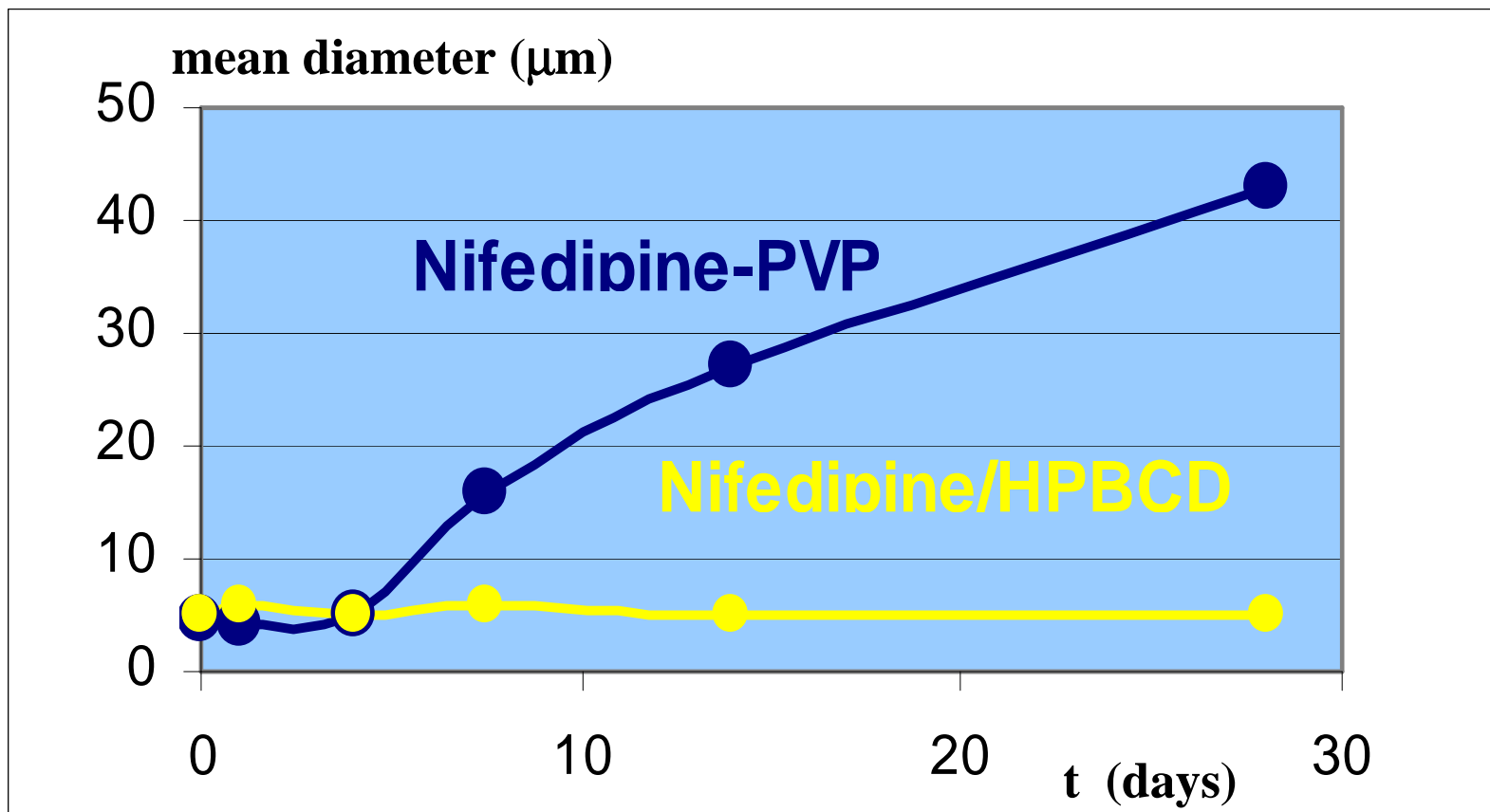
A hagyományos (Taxol-Cremophor-ethanol) és
a metil- β -ciklodextrinekkel készített (Taxol/DIMEB, Taxol/RAMEB)
paclitaxel oldatok *in vitro* sejtosztódást gátló hatása, PC3 humán sejtvonalon



AUC of Nifedipine after oral admin. of 20mg Nifedipine tabl. for dogs

Preformulation	AUC (h x ng / ml)	
	t = 0	t = 14 days
Nifedipine powder	126.85±1.24	-
Nifedipine-PVP	148.39±30.00	103.20±4.56
Nifedipine/ HPBCD	213.22±26.08	211.62±23.59

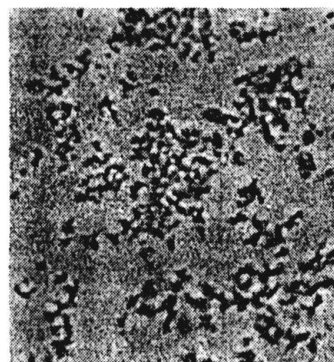
Size distribution of Nifedipine crystals grown at 60°C, 75% rH



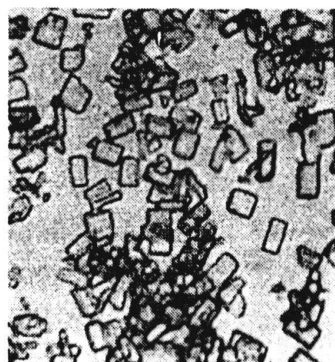
32.21

Photomicrographs of nifedipine crystals

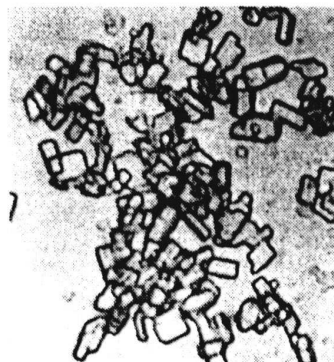
initial.



7 days.



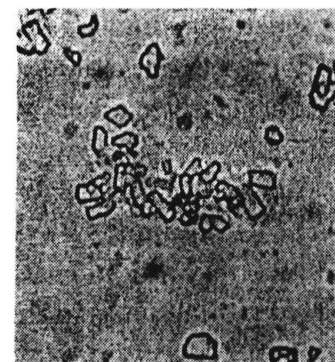
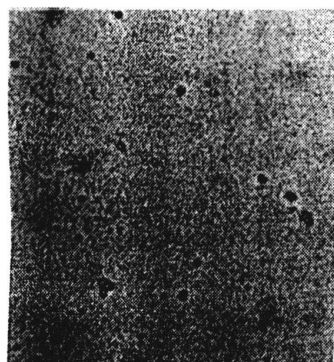
14 days.



28 days.



HP- β -CyD

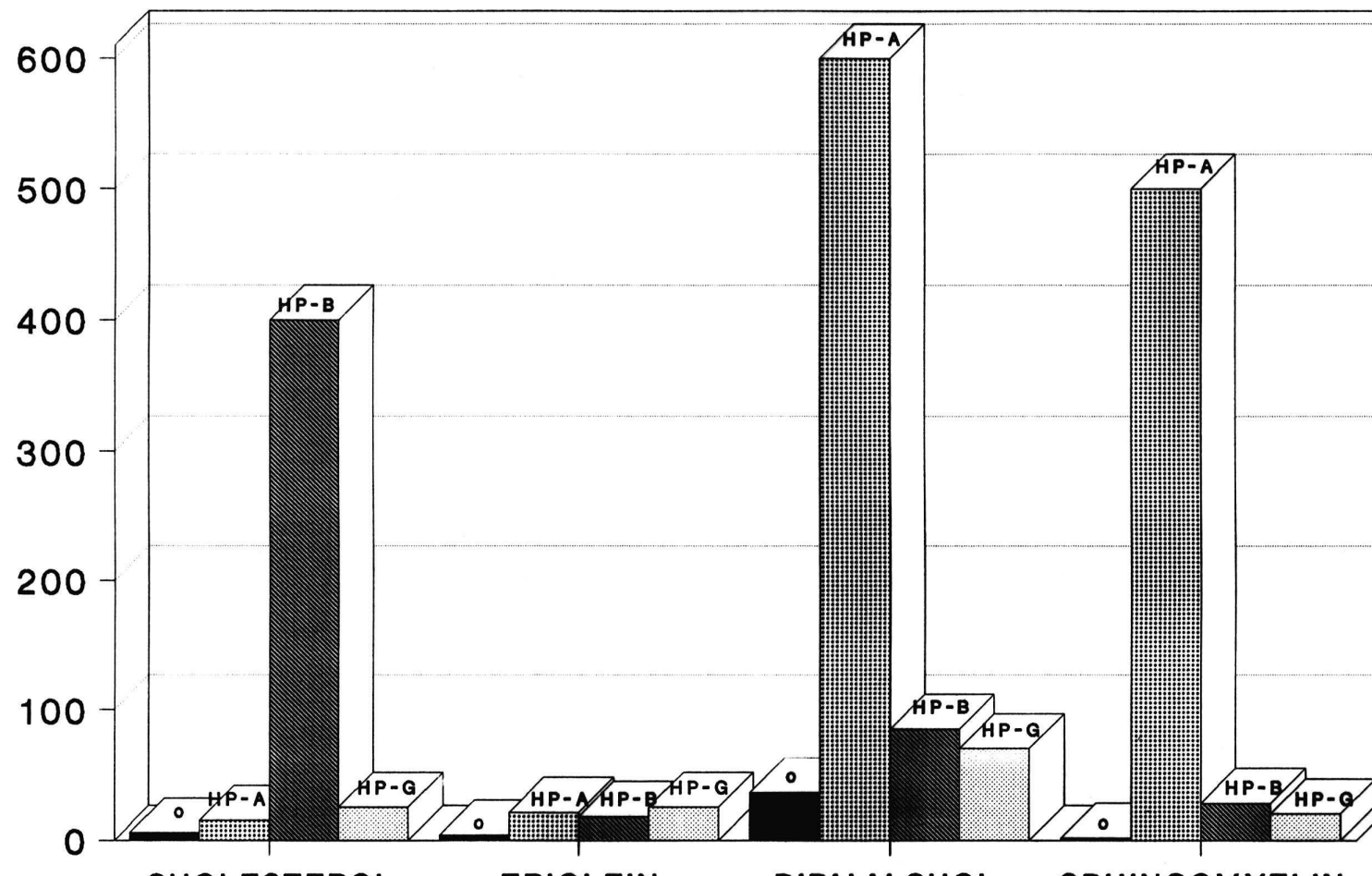


PVP

20 μ m

24.124

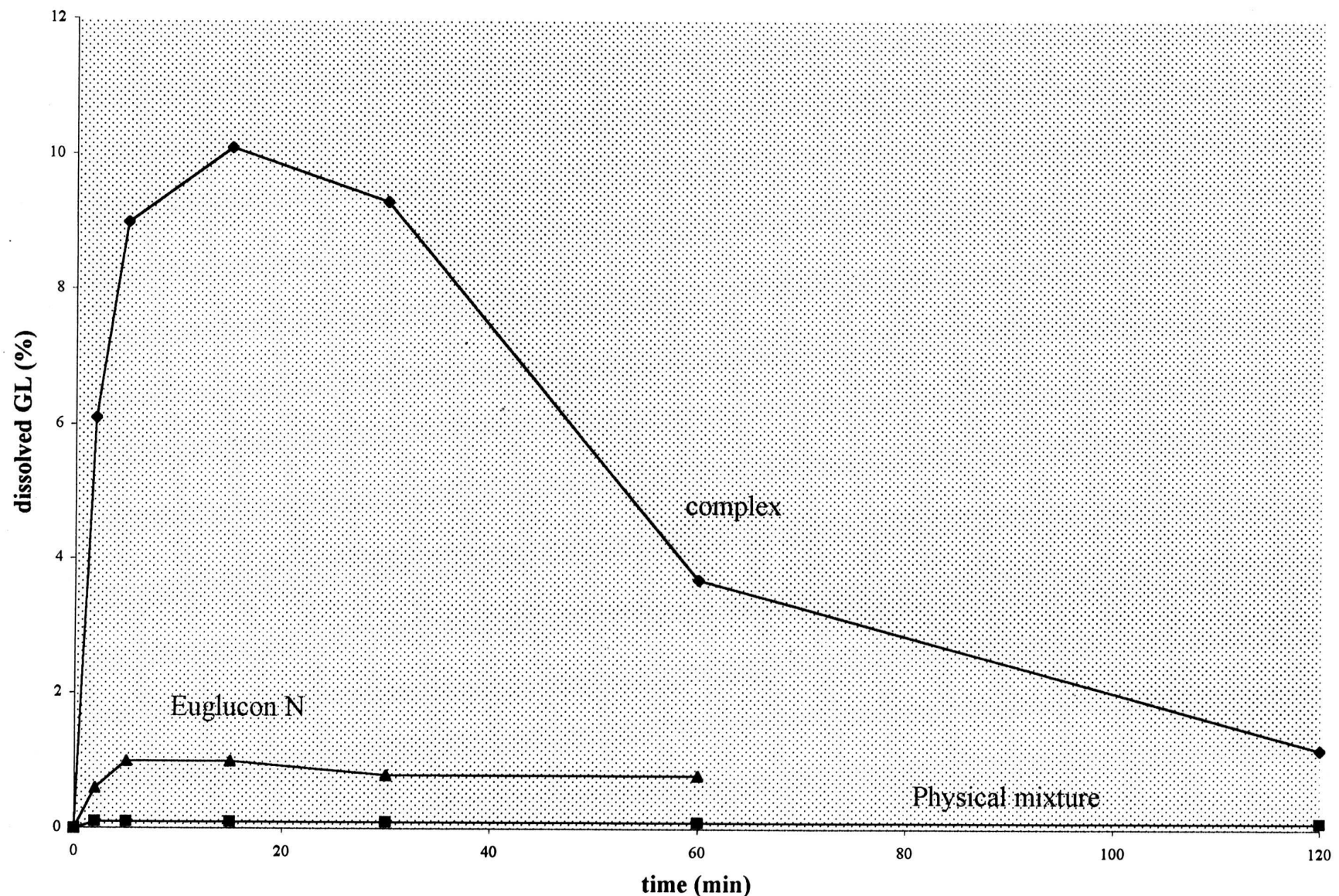
Enhancement of apparent solubilities of lipids by 5% hydroxypropyl-cyclodextrins



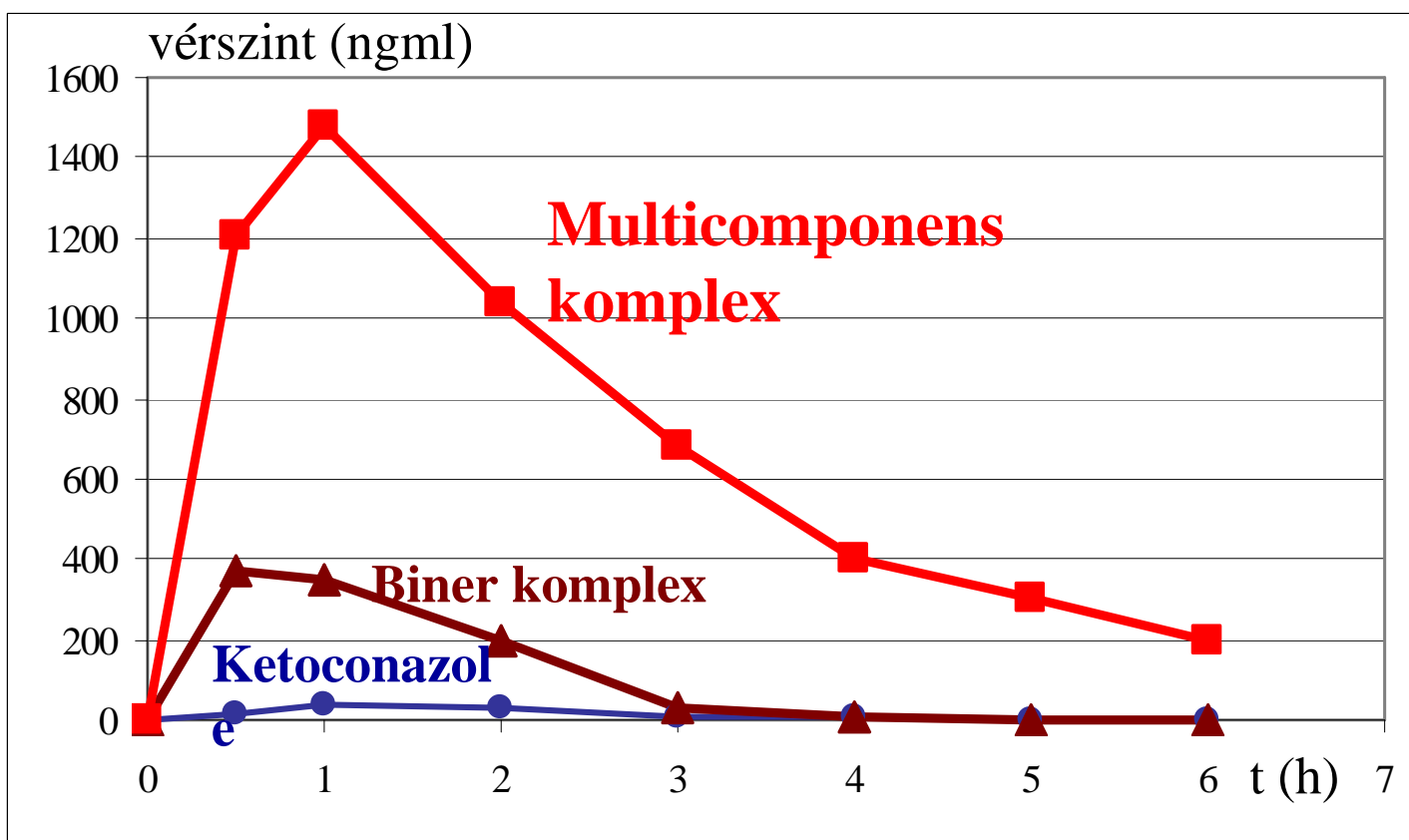
Irie, et.al. 1992

33.6

Fig.4. Dissolution of Glibenclamide at pH 5.0



Ketoconazole felszívódása orális beadagolás után gyomorsav nélküli nyúlon



A biner zárványkomplexek és gyógyszeripari alkalmazásuk

- molekuláris szintű diszperzitás
- nedvesedés- és oldódás fokozás fiziológiai körülmények között
- molekuláris csomagolás stabilizáló hatása (shelf-life)
- a hatóanyag/ciklodextrin komplex nem új kémiai egyed
- a hatóanyag leadása után a CD/membrán kölcsönhatás előnyös
- a ciklodextrin nem hatol át a membránokon
- fokozott biohozzáférhetőség, a dózis csökkentés lehetősége
- páciensbarát készitmények
- életciklus-hosszabitás lehetősége (iparjogi előnyök)

CYCLODEXTRINS IN THE STABILIZATION OF PHARMACEUTICALS

- CHEMICAL
STABILITY

HYDROLYSIS

OXIDATION

PHOTODEGRADATION

*THERMIC
DEGRADATION*

*CATALYTIC
DECOMPOSITION*

- PHYSICAL
STABILITY

SUBLIMATION

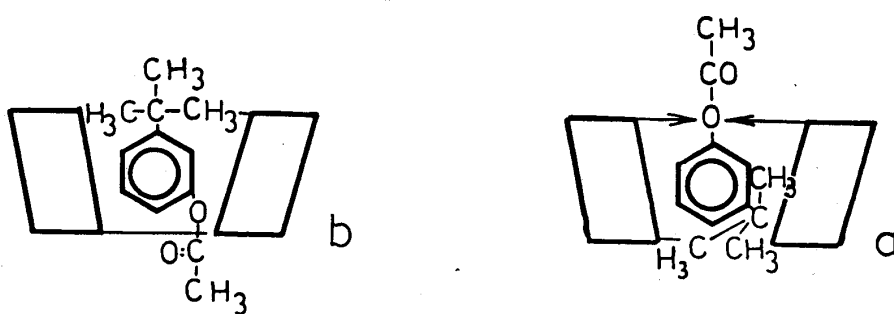
POLYMORPHY

CRYSTALMORPHOLOGY

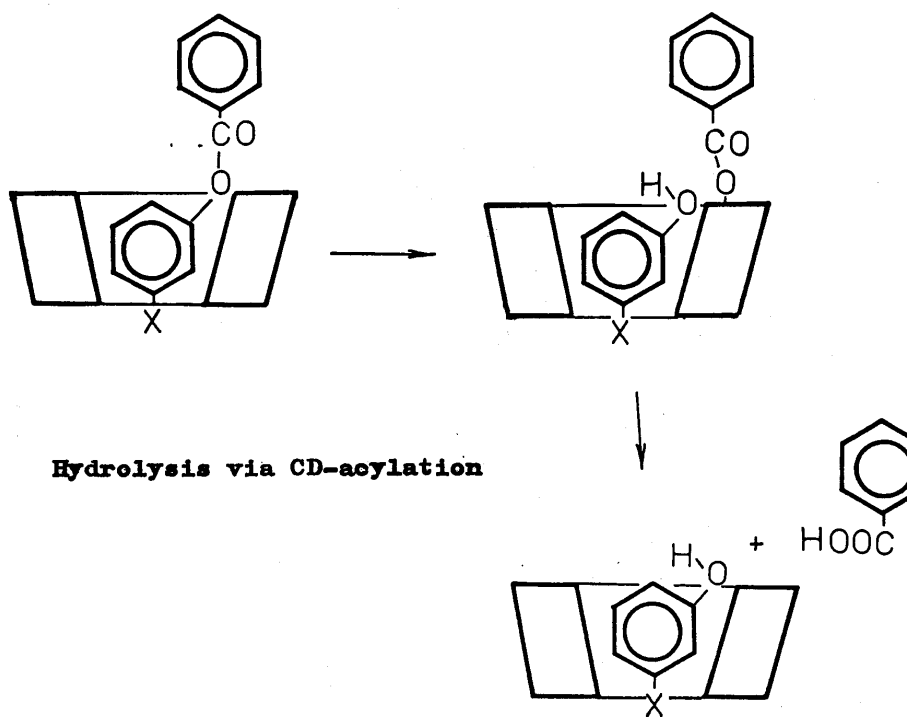
AGGREGATION

ASSOCIATION

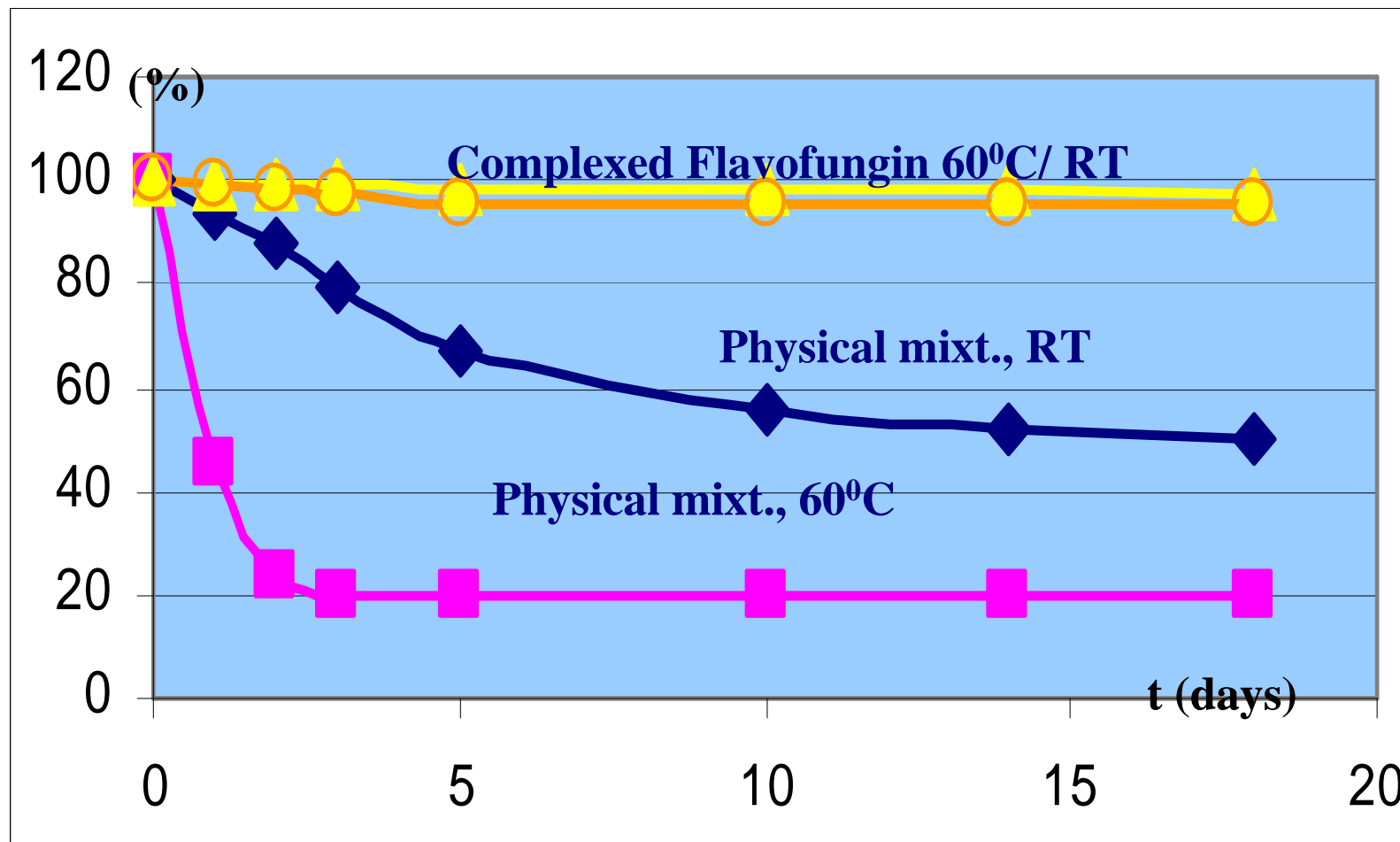
61.1

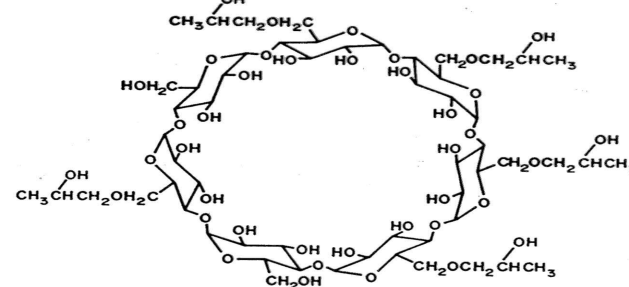


The hydrolysis of m-t-butylphenylacetate is a./ accelerated, b./ decelerated



Thermal decomposition of Flavofungin and Flavofungin/ γ CD in solution





2 - HYDROXYPROPYL - β - CYCLODEXTRIN
(HP- β -CD)

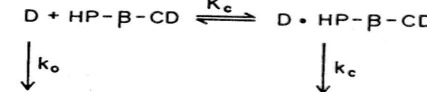
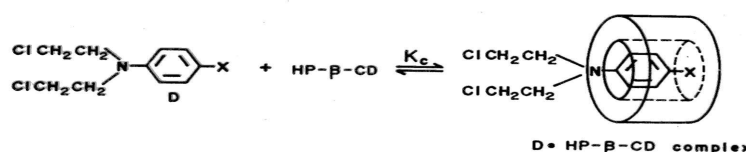
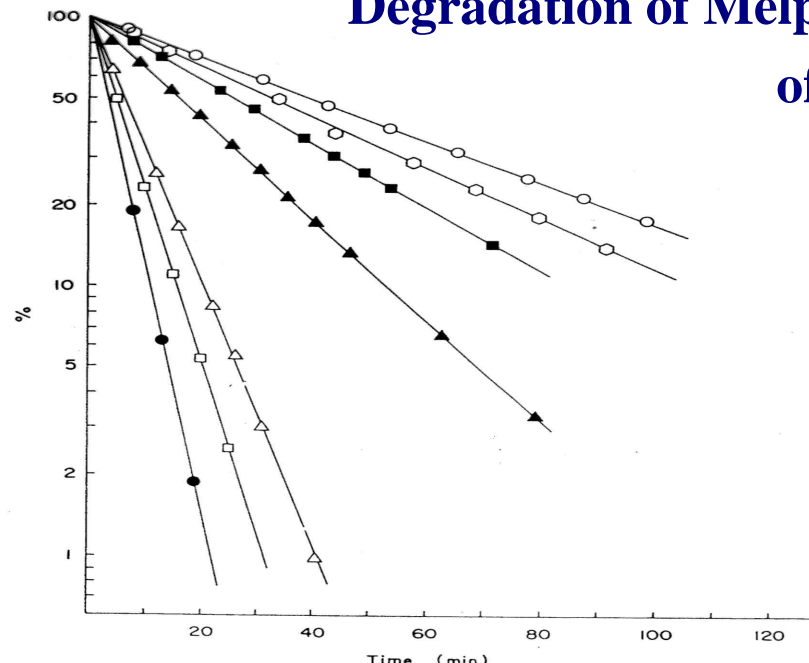


Fig. 1. Representative structure of 2-hydroxypropyl- β -cyclodextrin (HP- β -CD) and formation of HP- β -CD-melphalan complex ($D \cdot HP-\beta\text{-CD}$) in aqueous solution.

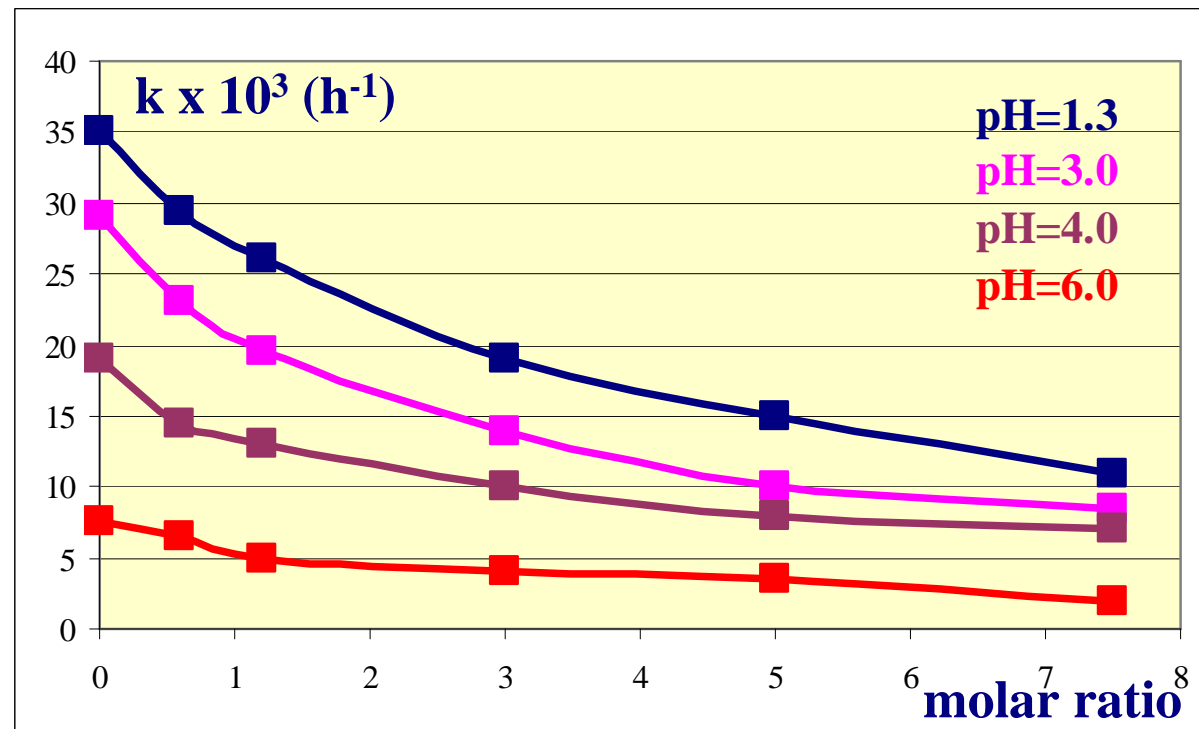


Degradation of Melphalan in presence of 0 – 20% HPBCD

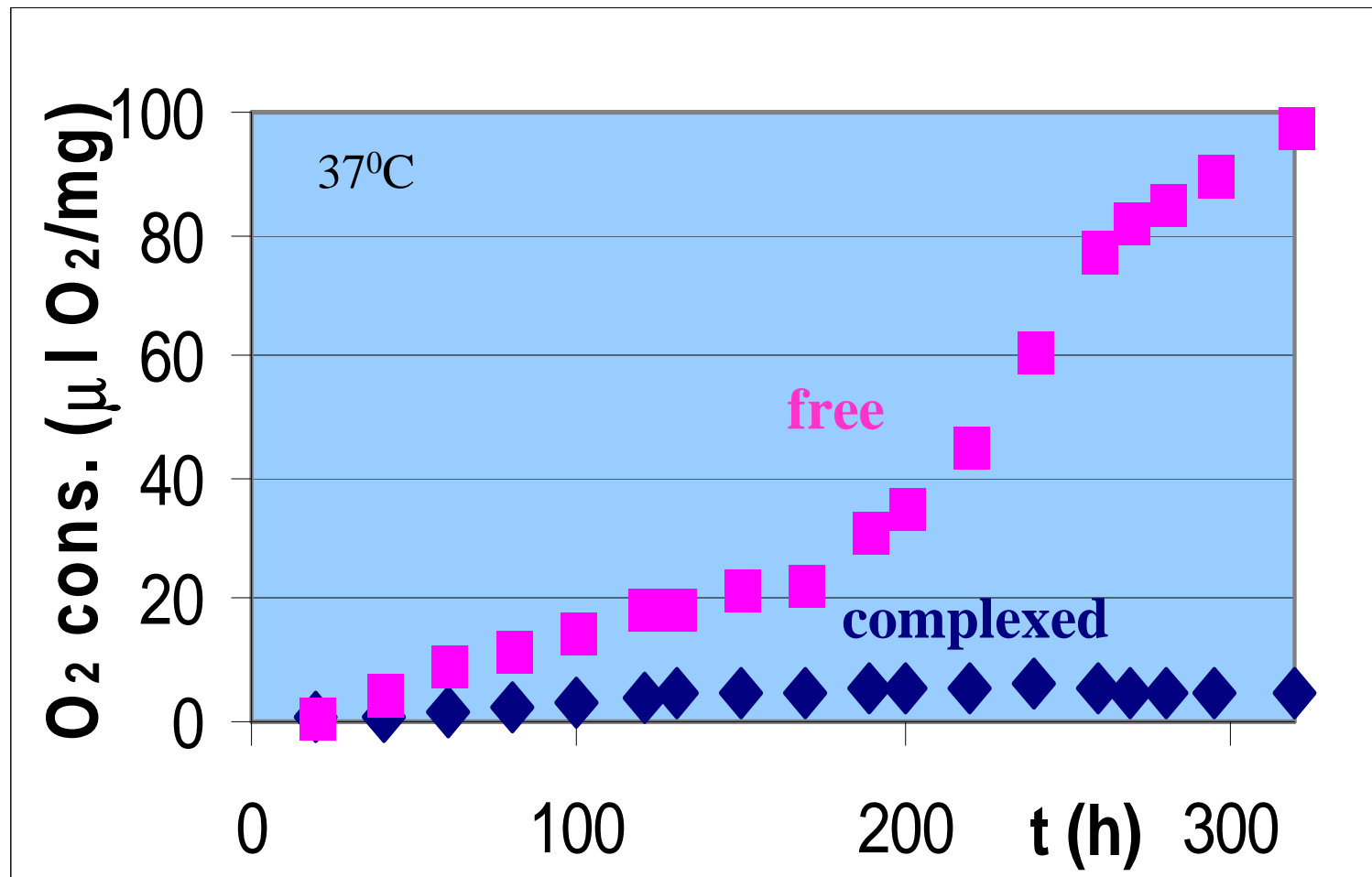


Representative first-order plots (log % remaining against time) for the degradation of melphalan in pH 7.00 aqueous phosphatecitrate (McIlvaine) buffer solutions at 60.0°C. The figure shows the effect of HP- β -CD on the rate of degradation: ●, 0.0% w/v; □, 0.5% w/v; △, 1.0% w/v; ▲, 5.0% w/v; ■, 10.0% w/v; ○, 15.0% w/v HP- β -CD.

Effect of HPBCD content on hydrolysis rate constant (k) of ASA at 40°C



Oxygen consumption of free and β CD-complexed Chamomile Oil



Stability of Iodine in powders			
Formulation	Iodine content (%) (%), t=0	Iodine content (%) t=1h, 100°C	
Iodine/BCD powder	1.05±0.02	1.01 (-3.8%)	
Iodine-talc powder	0.54	0	
Stability of Iodine in vaginal suppositories			
Formulation	Weight (n=10)	Iodine content (mg/dosage) t=0	Iodine content (mg/dosage) t=40h, 65°C
Iodine/BCD vaginal supp.	2.69 ±0.08	20.1 ±0.62	19.89 (-1.03%)
Reference prep. (Iodine/PVP)	2.94 ±0.12	20.0 ±0.90	19.96 (-0.35%)

Stability and biological activity of selected proteins in HPBCD solutions

Protein	time (until no loss of activity)	time (until no aggregation)	time (until no dimerization)
IL-2	28 days (37^0C)	-	84 days ($+4^0\text{C}$)
TNF	28 days (37^0C)	-	28 days (37^0C)
OGH	-	7 days (25^0C)	-
HGH	-	4 days ($+4^0\text{C}$)	49 days ($+4^0\text{C}$)
Bovine Insuline	-	56days (25^0C)	56 days (25^0C)
Human insuline	-	4 days ($+4^0\text{C}$)	4 days ($+4^0\text{C}$)